

Program EVALPLOT
(Version 2018-1)

by

Dermott E. Cullen
(Present Contact Information)

Dermott E. Cullen
1466 Hudson Way
Livermore, CA 94550
U.S.A.

Tele: 925-443-1911

E.Mail:redcullen1@comcast.net

Web:redcullen1.net/HOMEPAGE.NEW

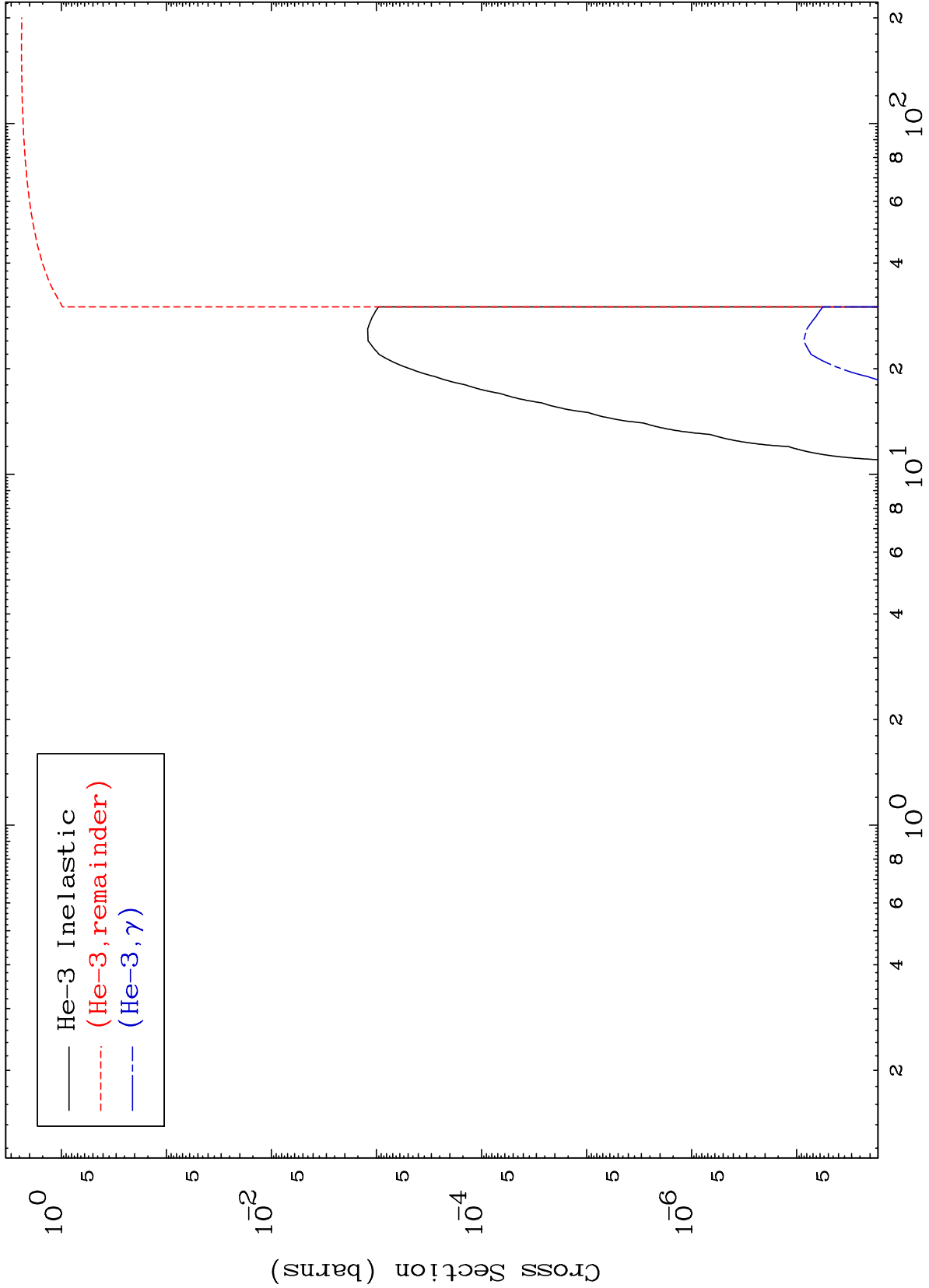
Press Mouse Button to Start

MAT 7919

He-3 Major

79-Au-195

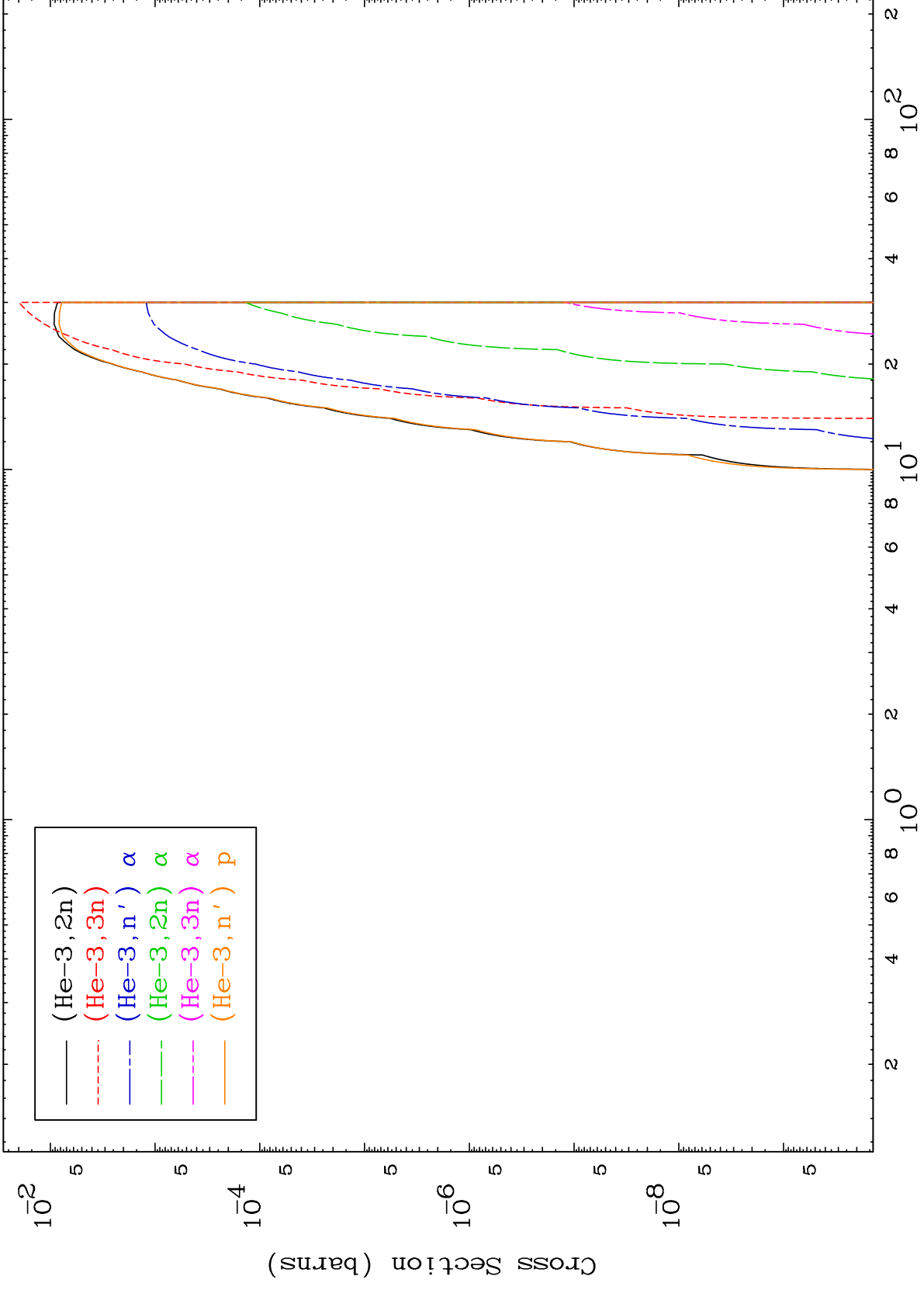
0 Kelvin Cross Sections



MAT 7919

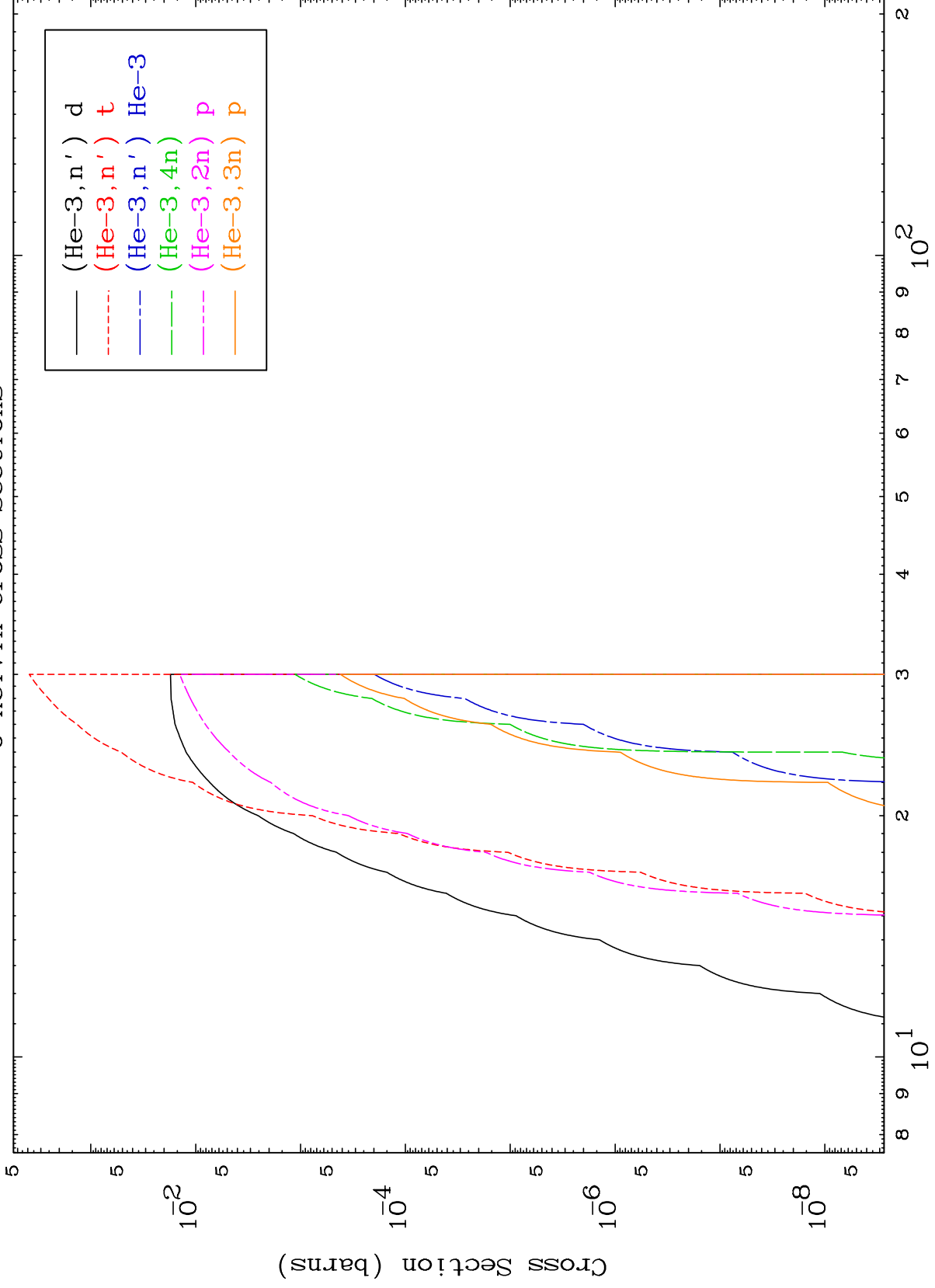
He-3 Neutron Production
0 Kelvin Cross Sections

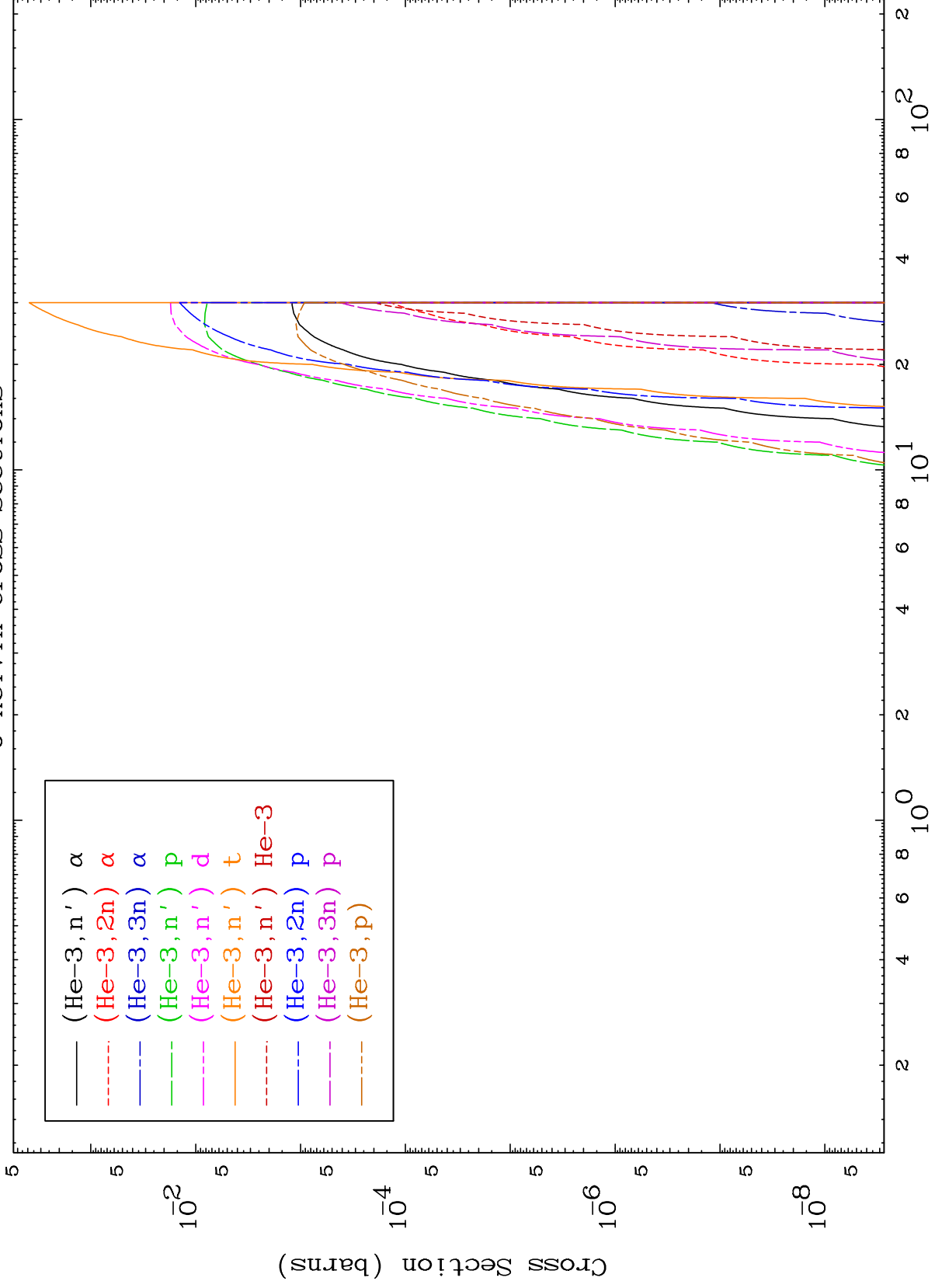
79-Au-195



79-Au-195

Incident Energy (MeV)

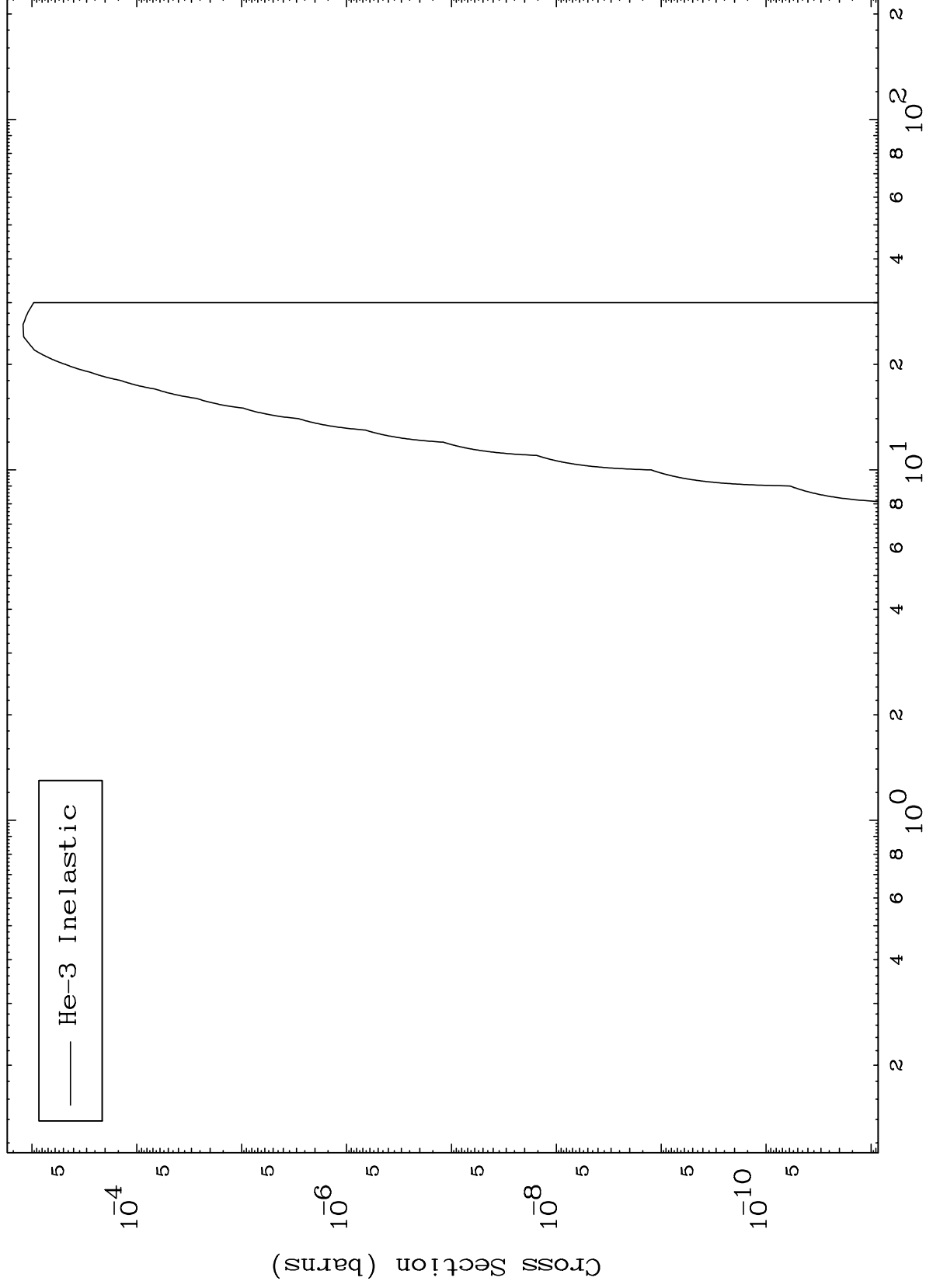




MAT 7919

79-Au-195

(He-3, n') Level
0 Kelvin Cross Sections



6

79-Au-195

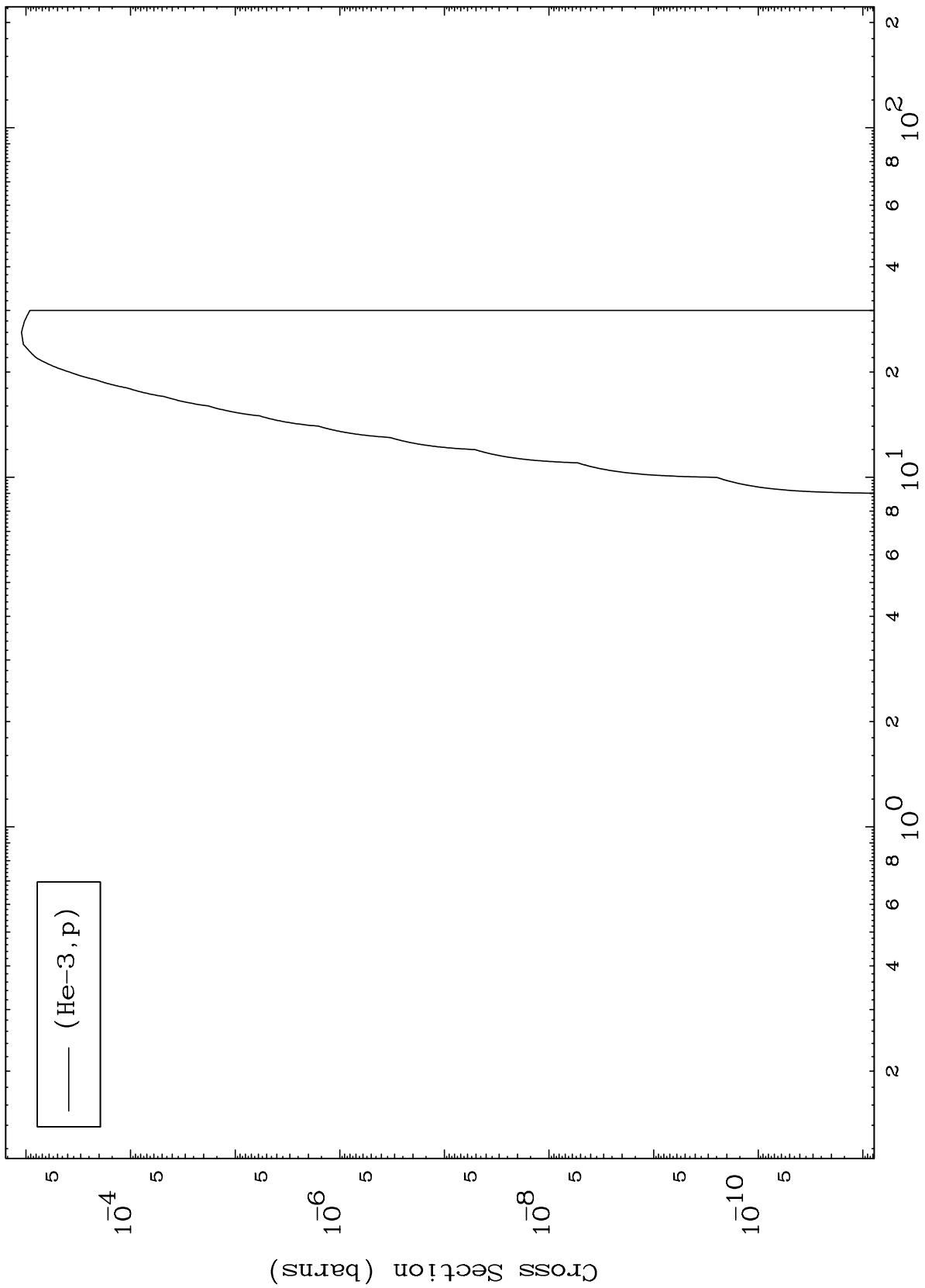
Incident Energy (MeV)

MAT 7919

(He-3,p) Levels

79-Au-195

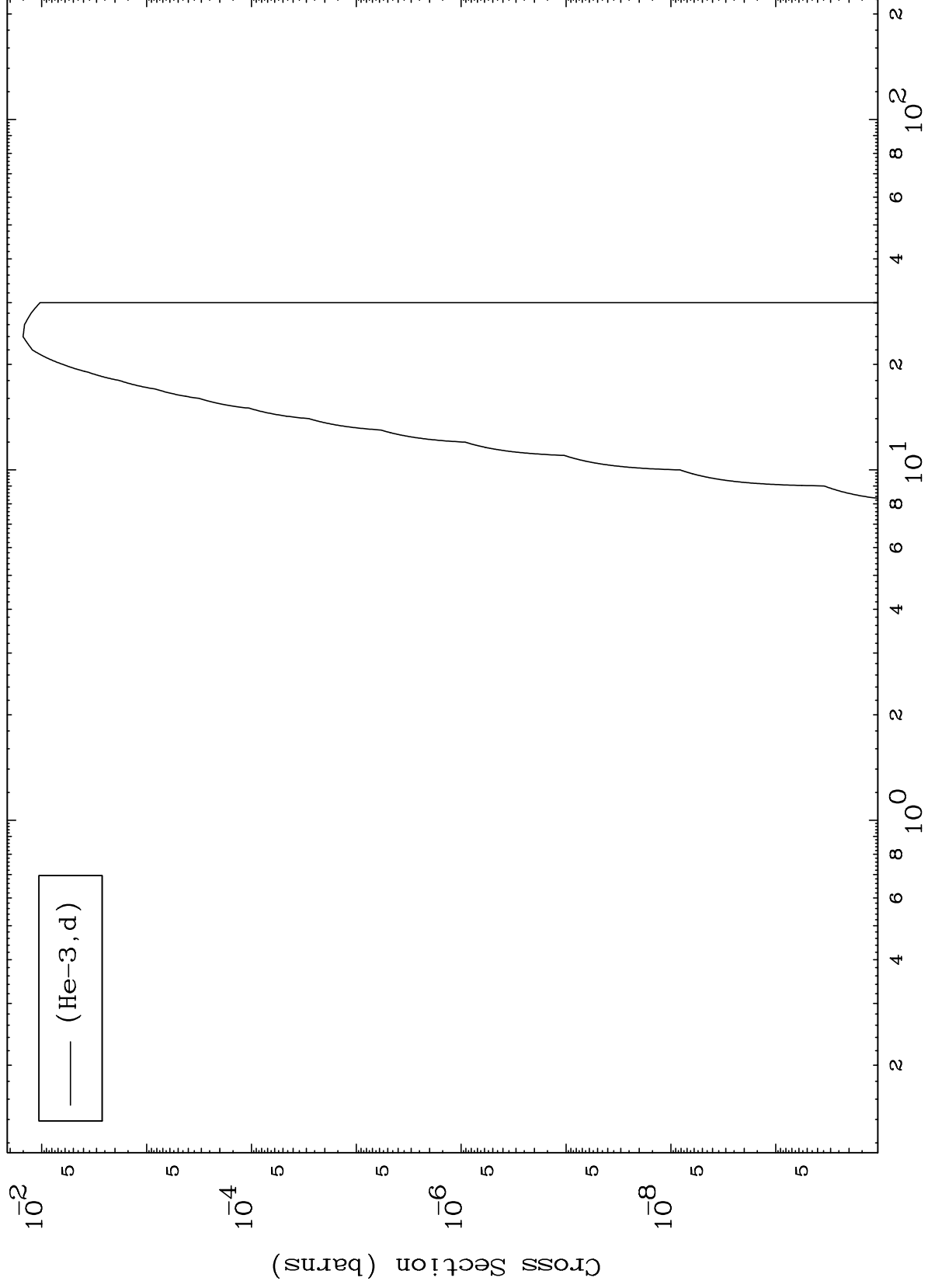
0 Kelvin Cross Sections



MAT 7919

79-Au-195

(He-3,d) Levels
0 Kelvin Cross Sections

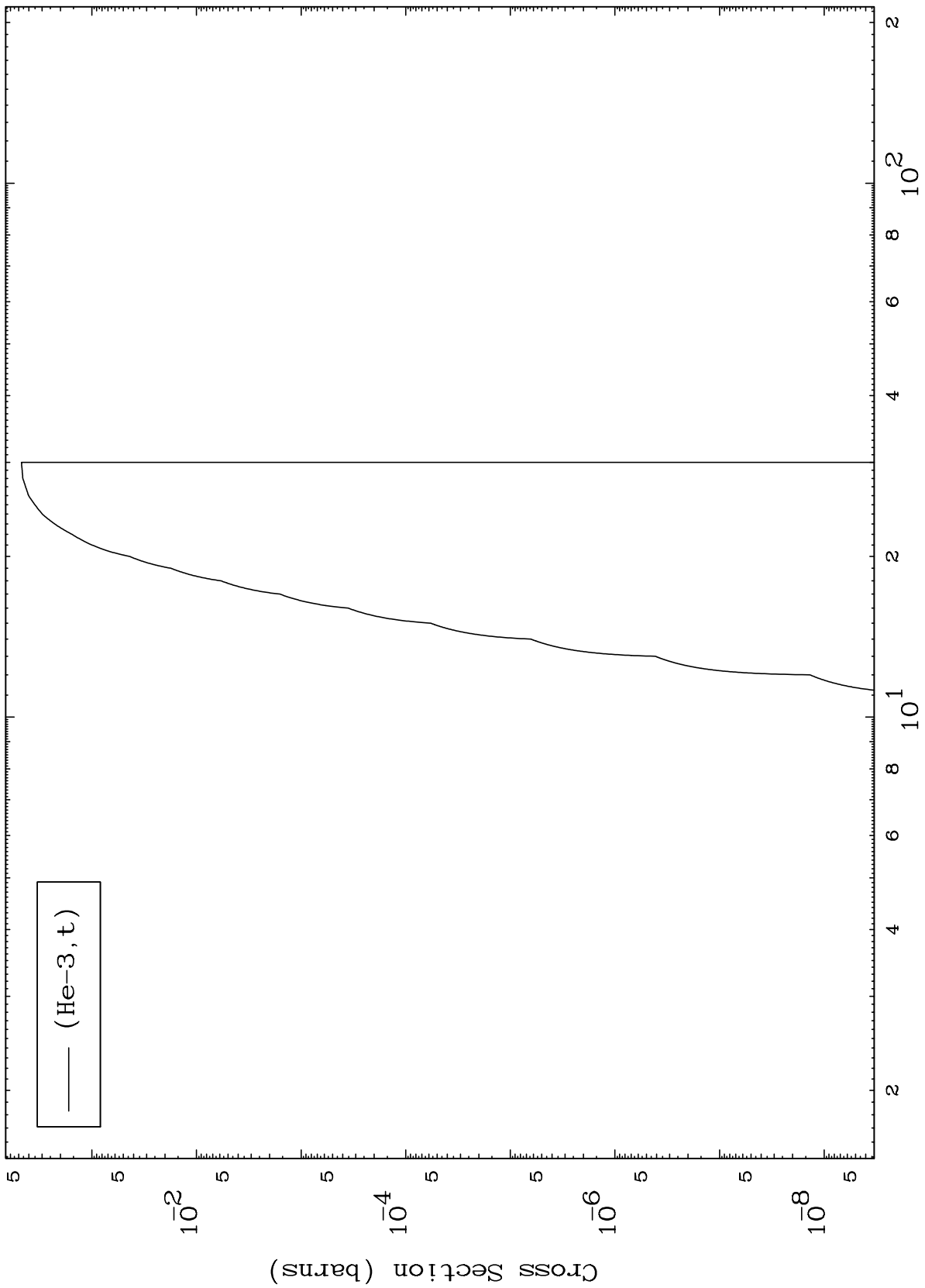


MAT 7919

(He-3, t) Levels

79-Au-195

0 Kelvin Cross Sections

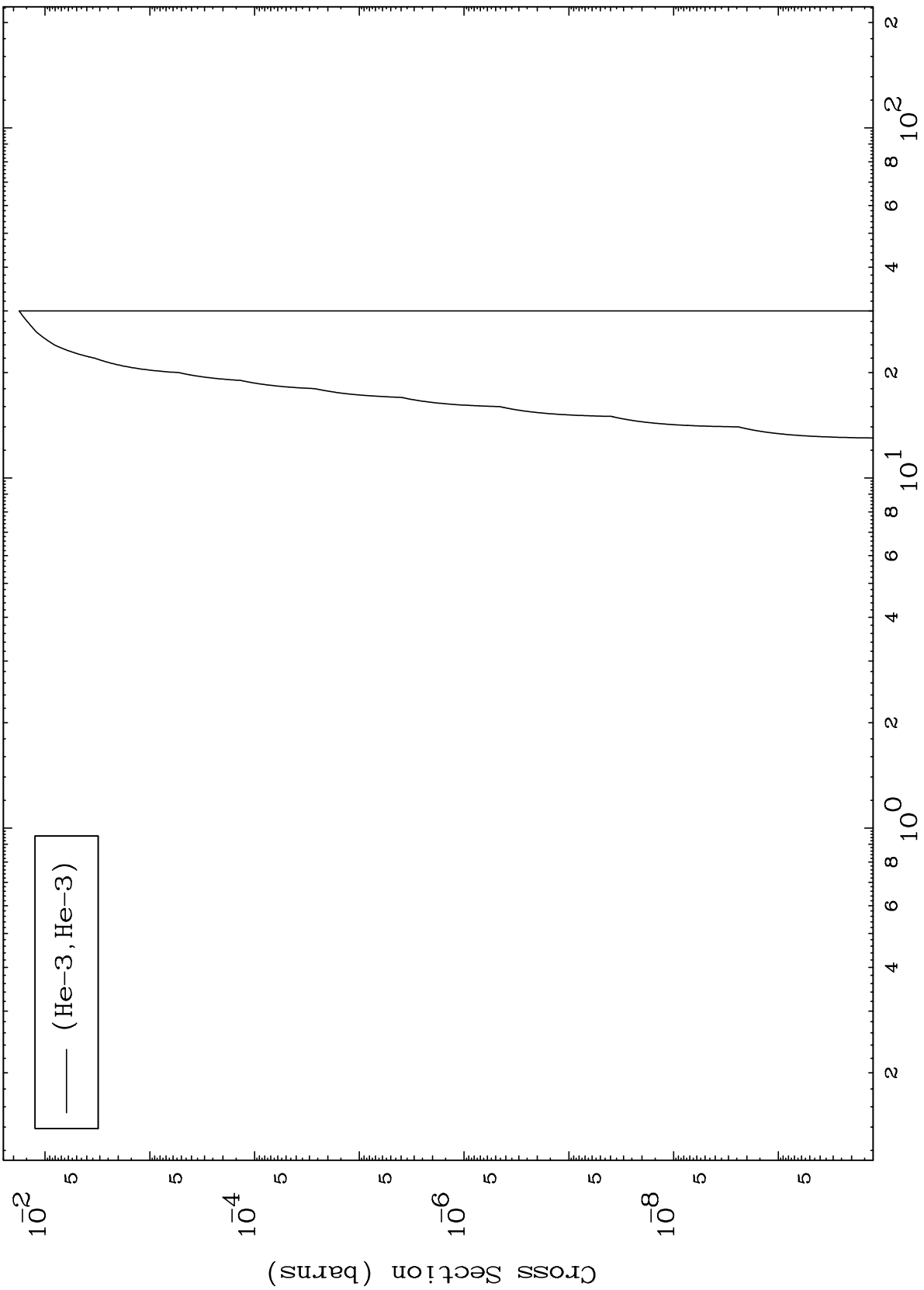


MAT 7919

(He-3, He3) Levels

79-Au-195

0 Kelvin Cross Sections



10

Incident Energy (MeV)

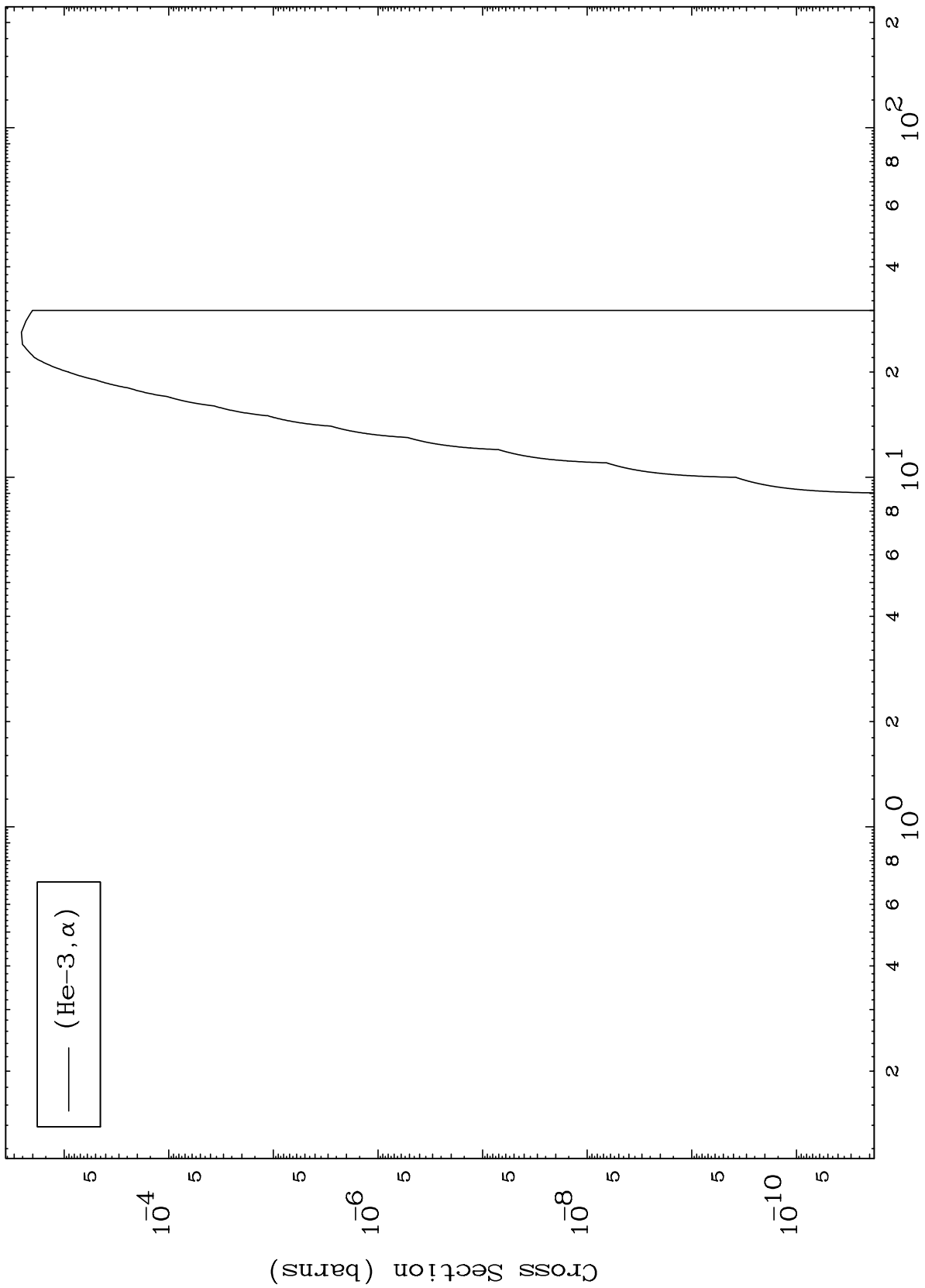
79-Au-195

MAT 7919

(He-3, α) Levels

79-Au-195

0 Kelvin Cross Sections

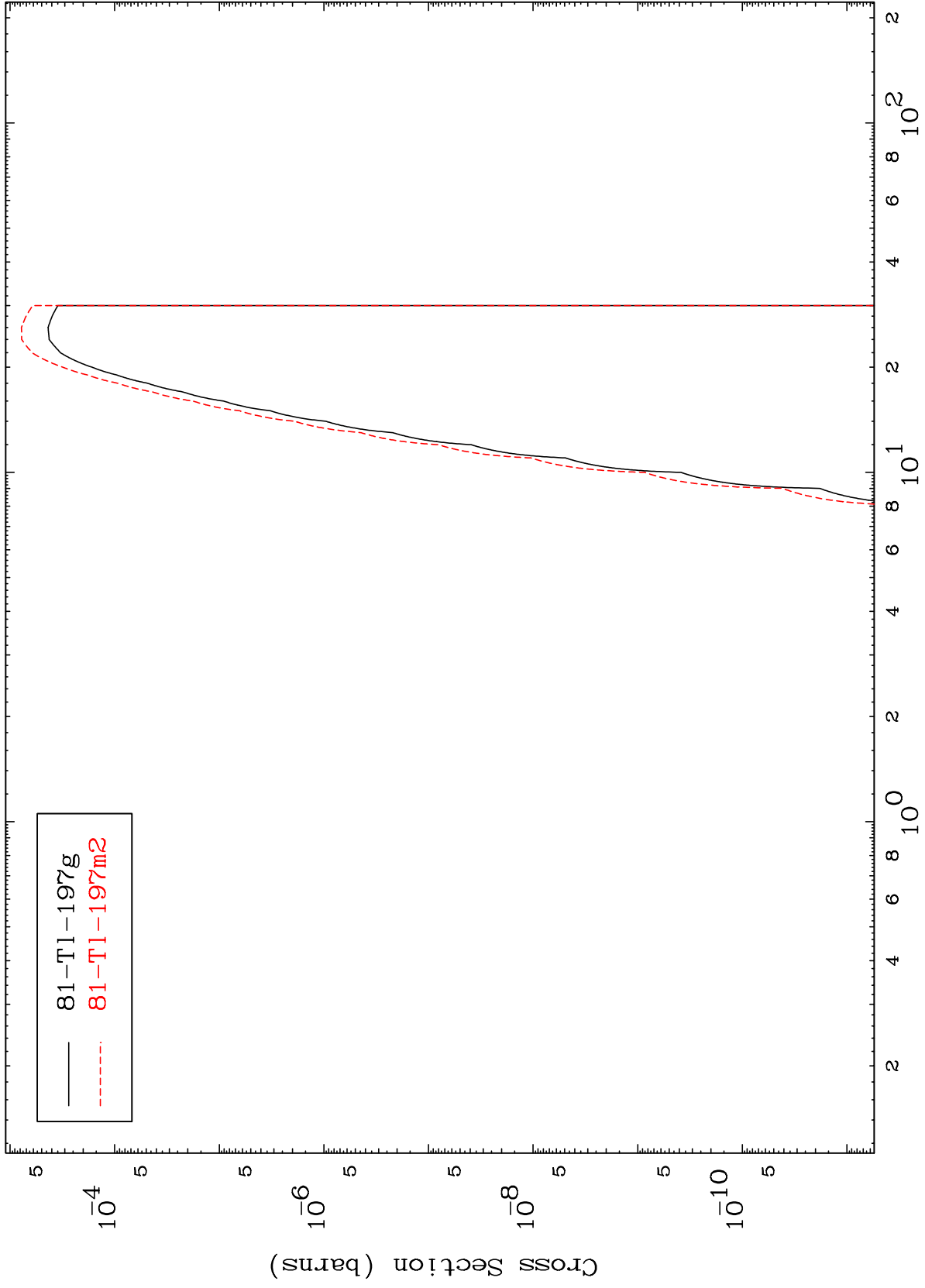


MAT 7919

He-3 Inelastic

79-Au-195

Radionuclide Production Cross Section

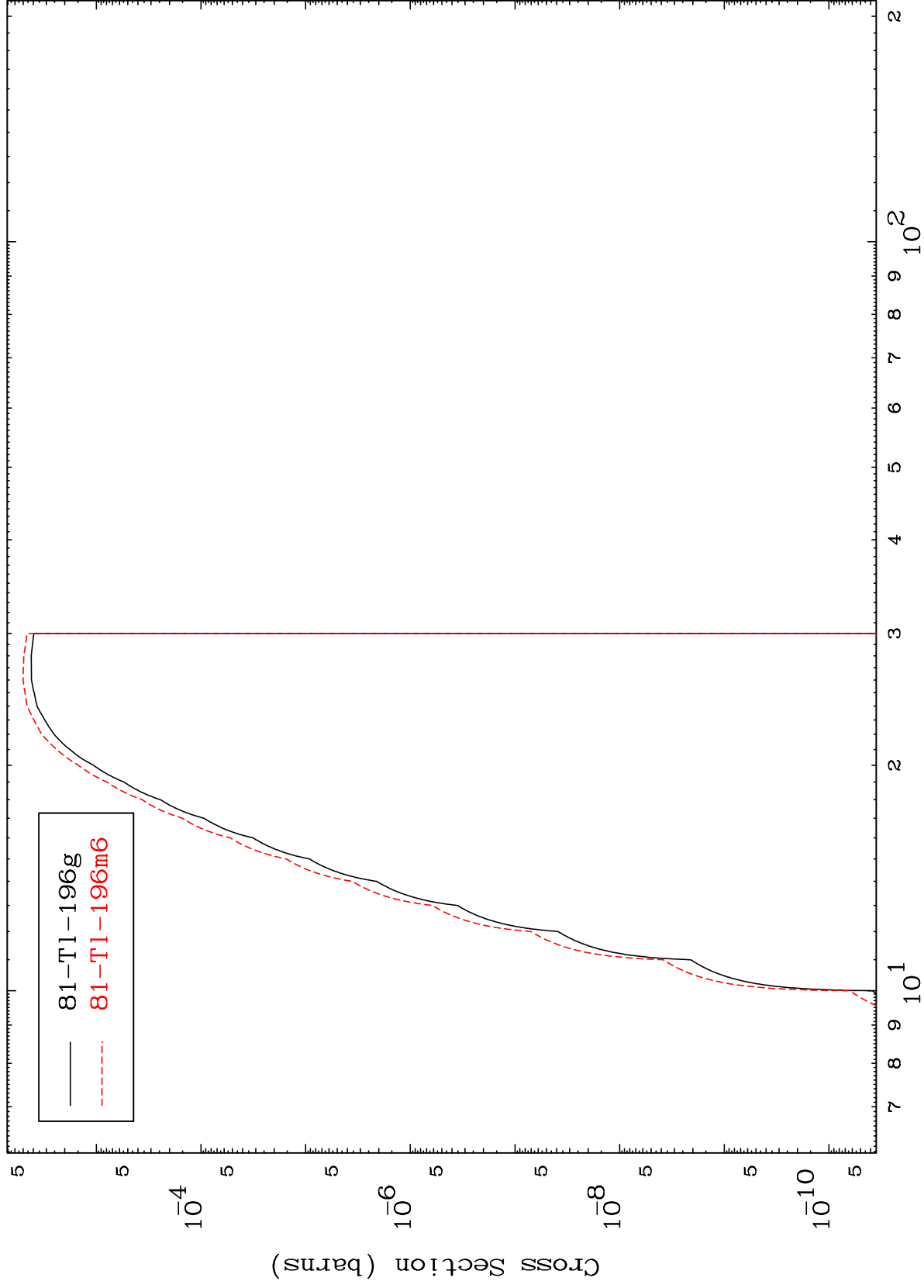


MAT 7919

(He-3,2n)

79-Au-195

Radionuclide Production Cross Section



13

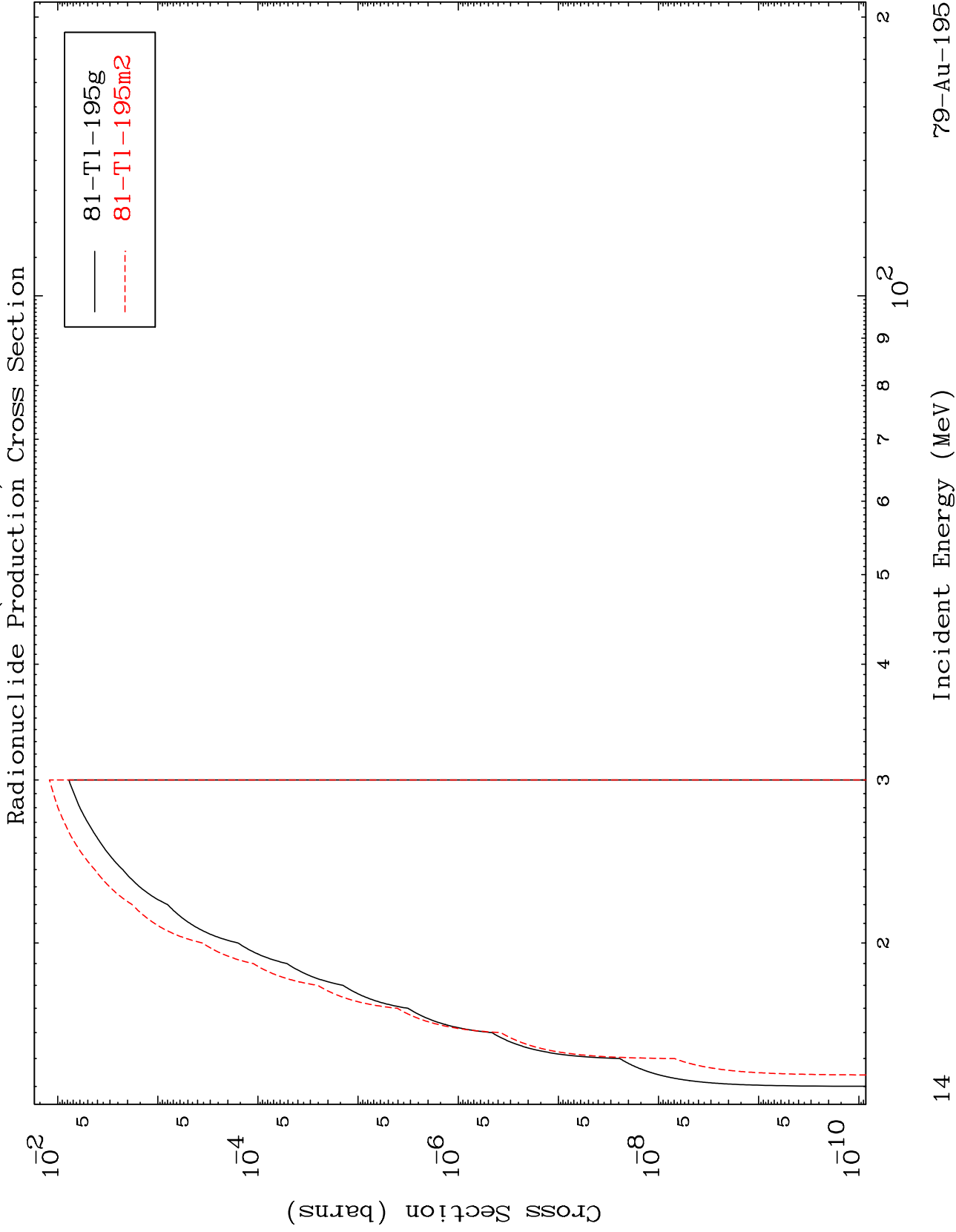
Incident Energy (MeV)

79-Au-195

MAT 7919

(He-3,3n)

79-Au-195



14

Incident Energy (MeV)

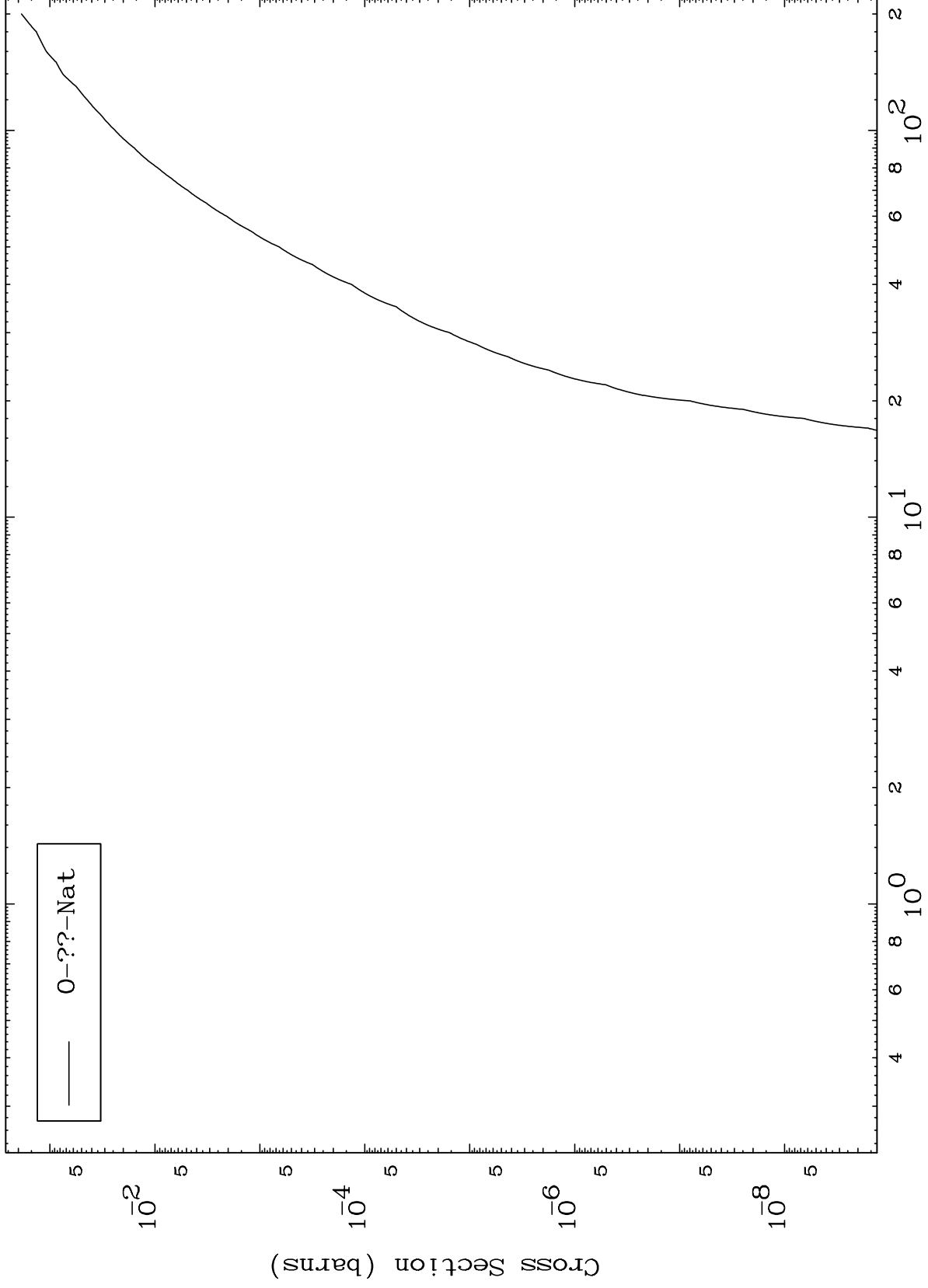
79-Au-195

MAT 7919

He-3 Fission

79-Au-195

Radionuclide Production Cross Section



15

Incident Energy (MeV)

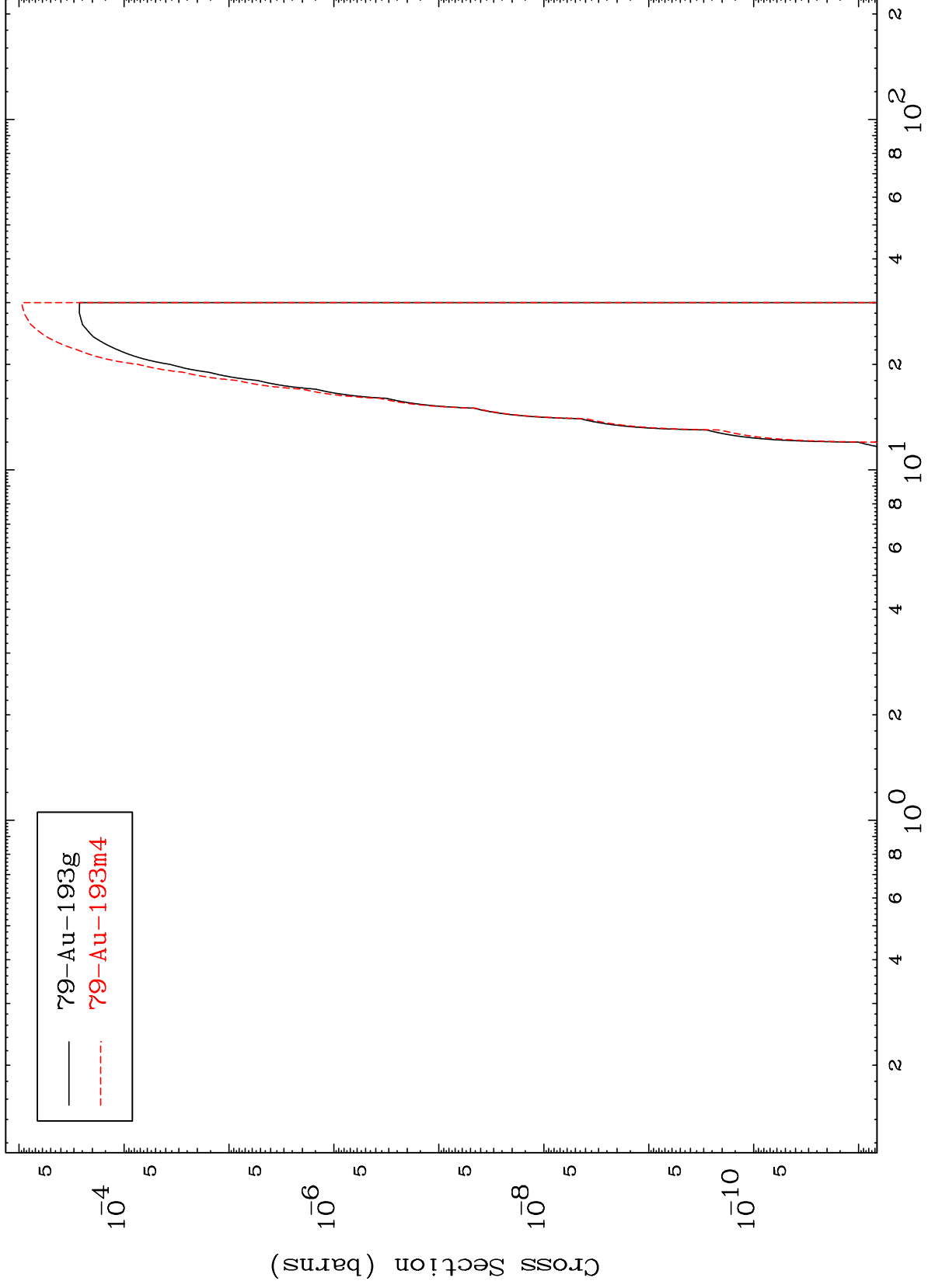
79-Au-195

MAT 7919

(He-3, n') α

79-Au-195

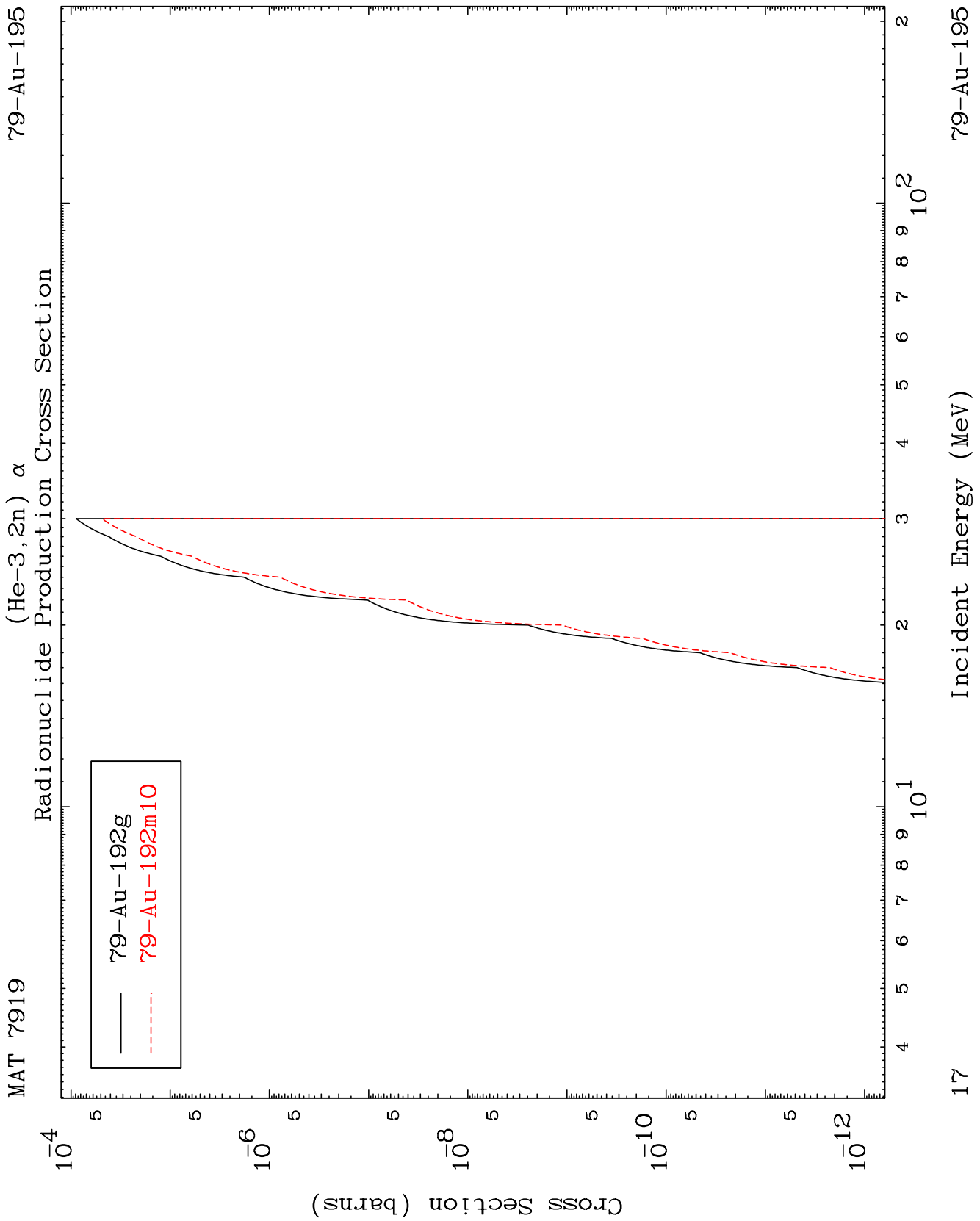
Radionuclide Production Cross Section



16

Incident Energy (MeV)

79-Au-195

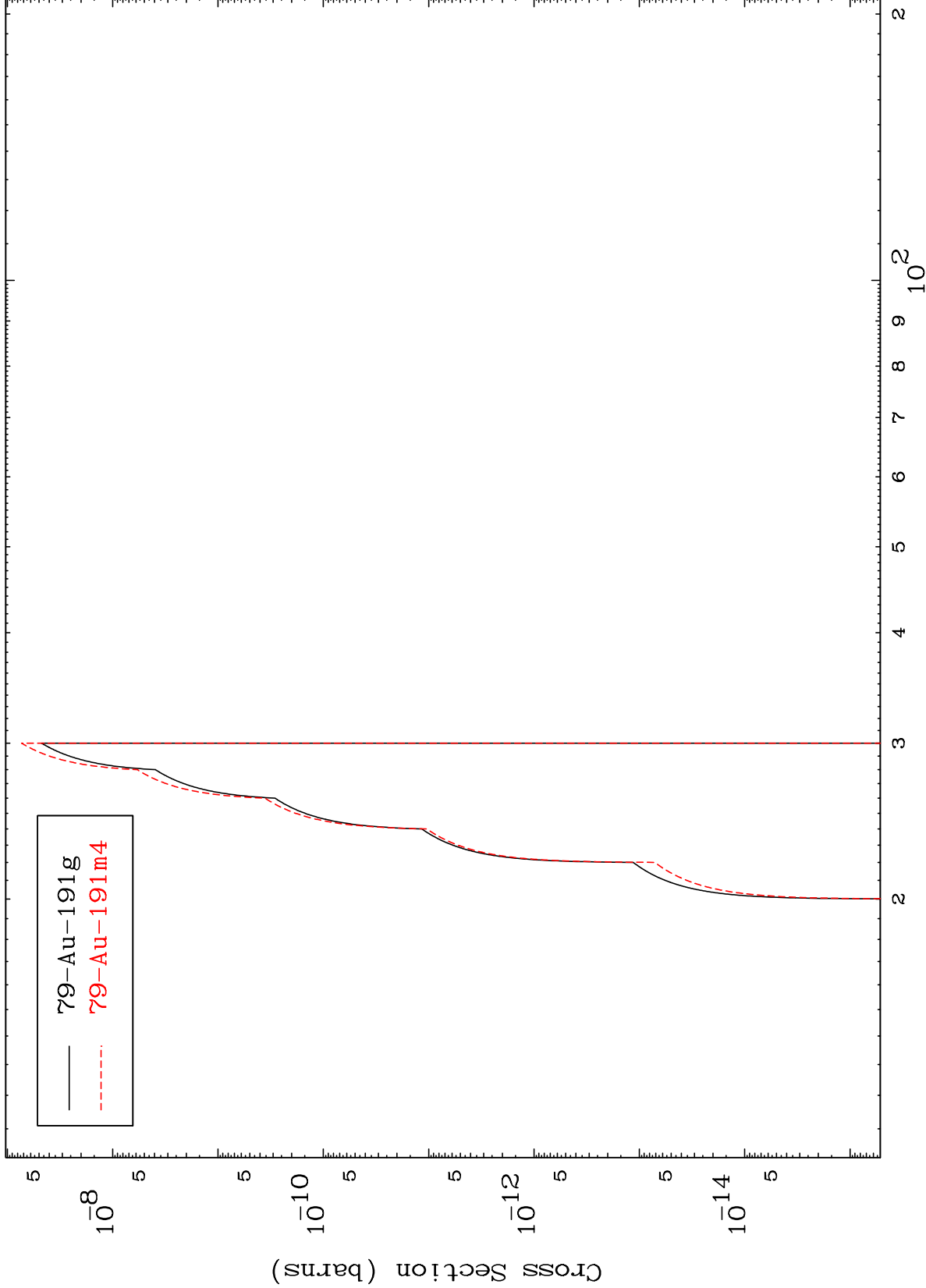


MAT 7919

(He-3,3n) α

79-Au-195

Radionuclide Production Cross Section



18

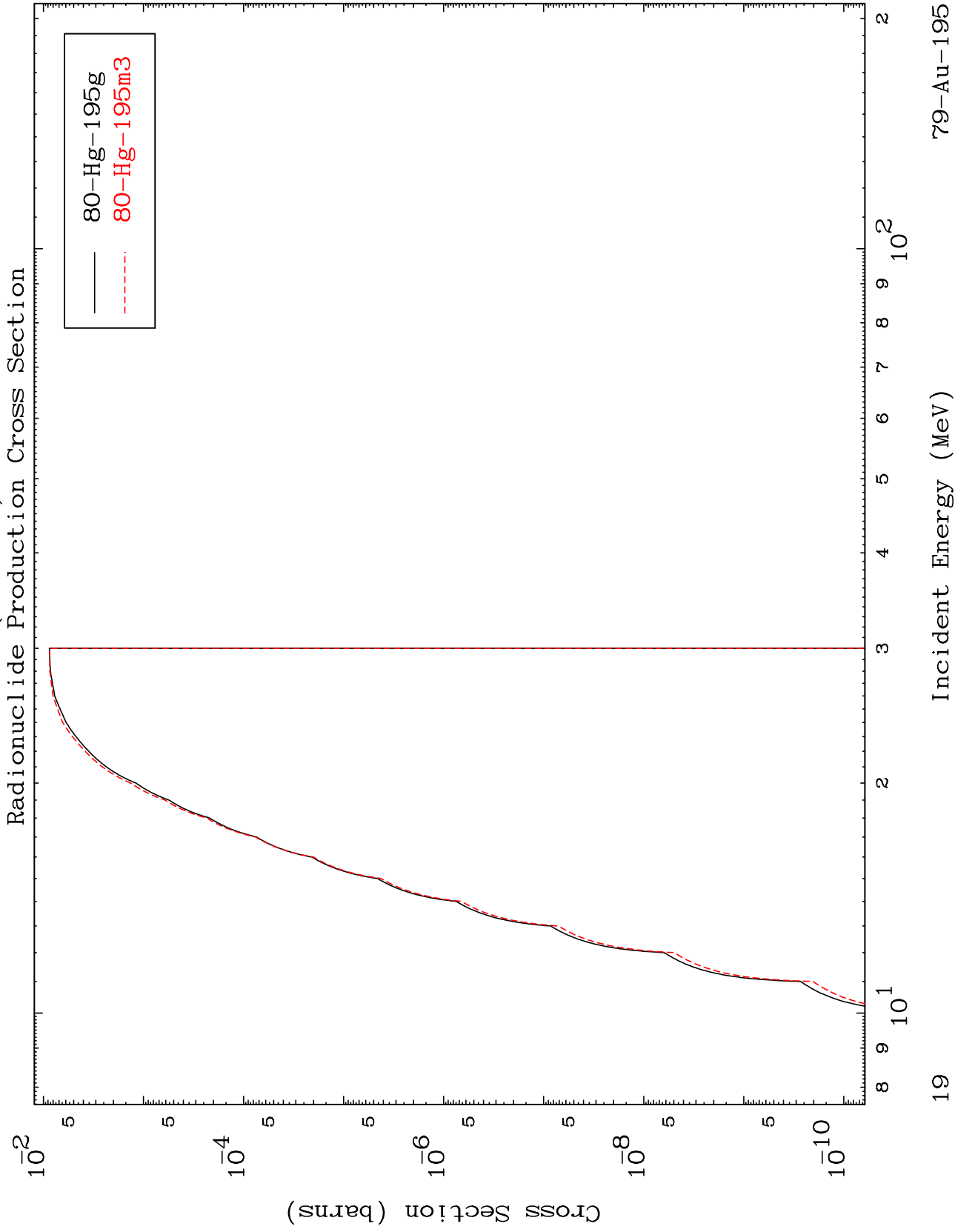
Incident Energy (MeV)

79-Au-195

MAT 7919

(He-3, n') d

79-Au-195



19

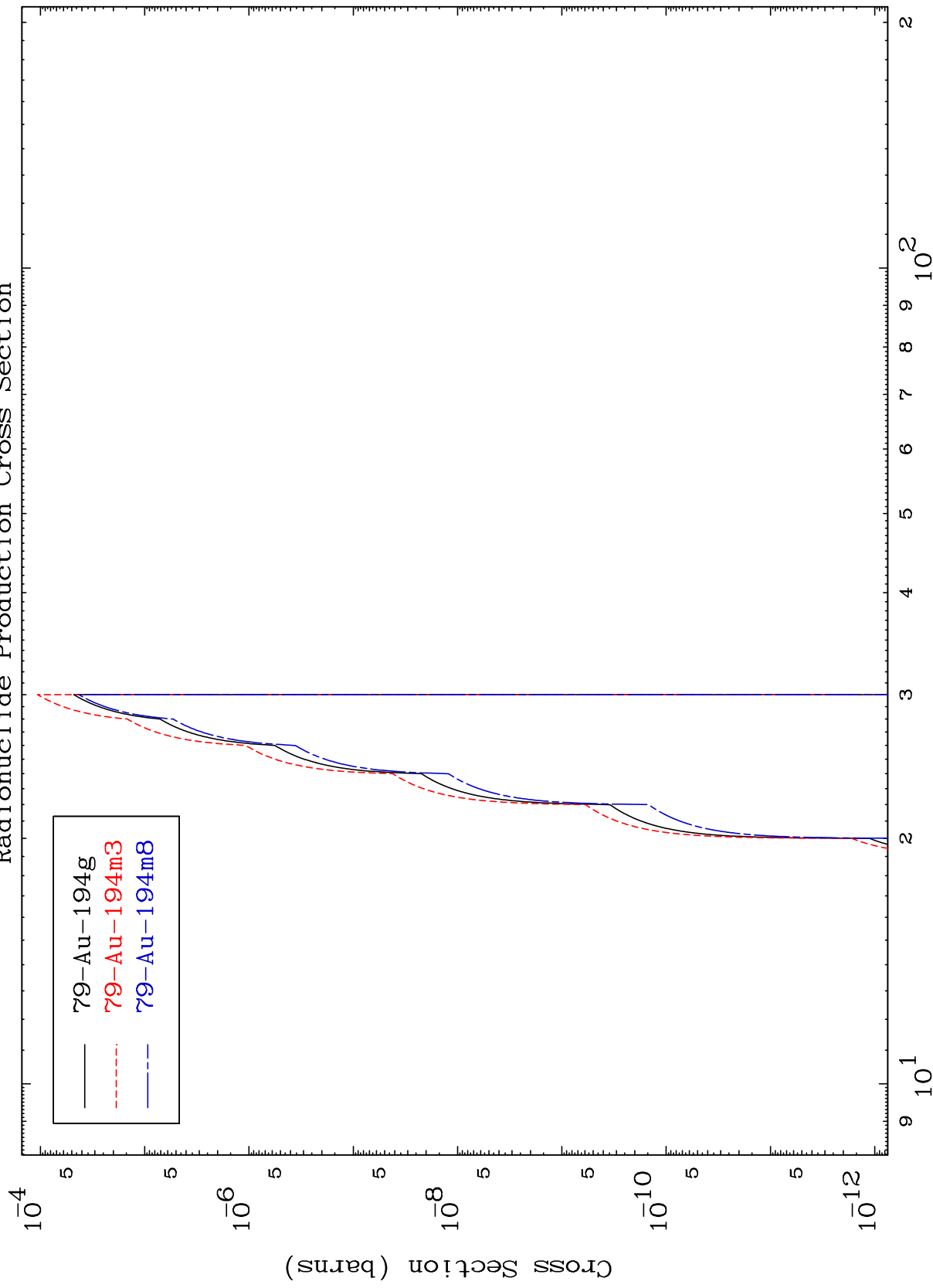
79-Au-195

MAT 7919

79-Au-195

(He-3, n') He-3

Radionuclide Production Cross Section



79-Au-195

Incident Energy (MeV)

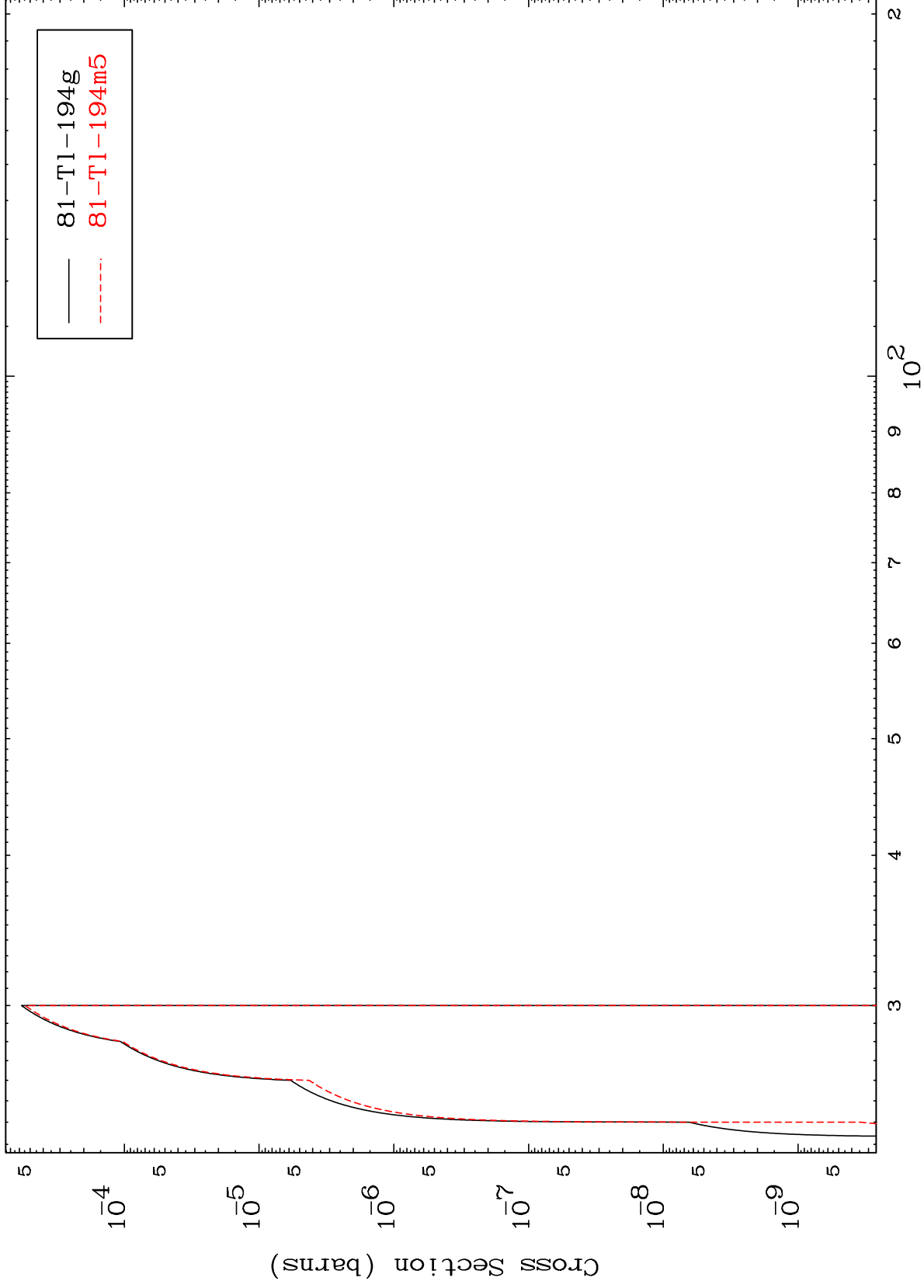
20

MAT 7919

(He-3,4n)

79-Au-195

Radionuclide Production Cross Section



21

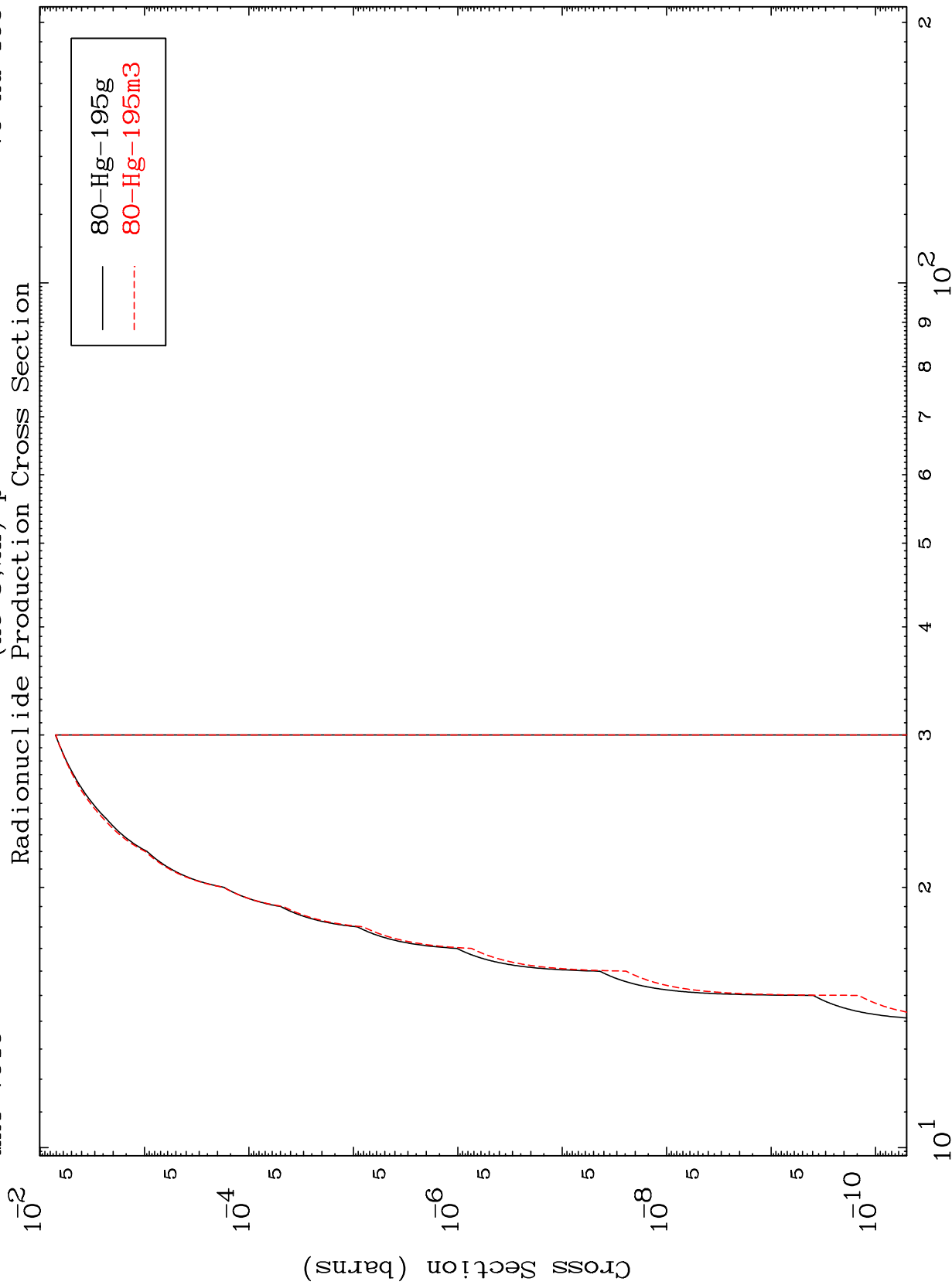
Incident Energy (MeV)

79-Au-195

MAT 7919

79-Au-195

(He-3,2n) p
Radionuclide Production Cross Section



79-Au-195

Incident Energy (MeV)

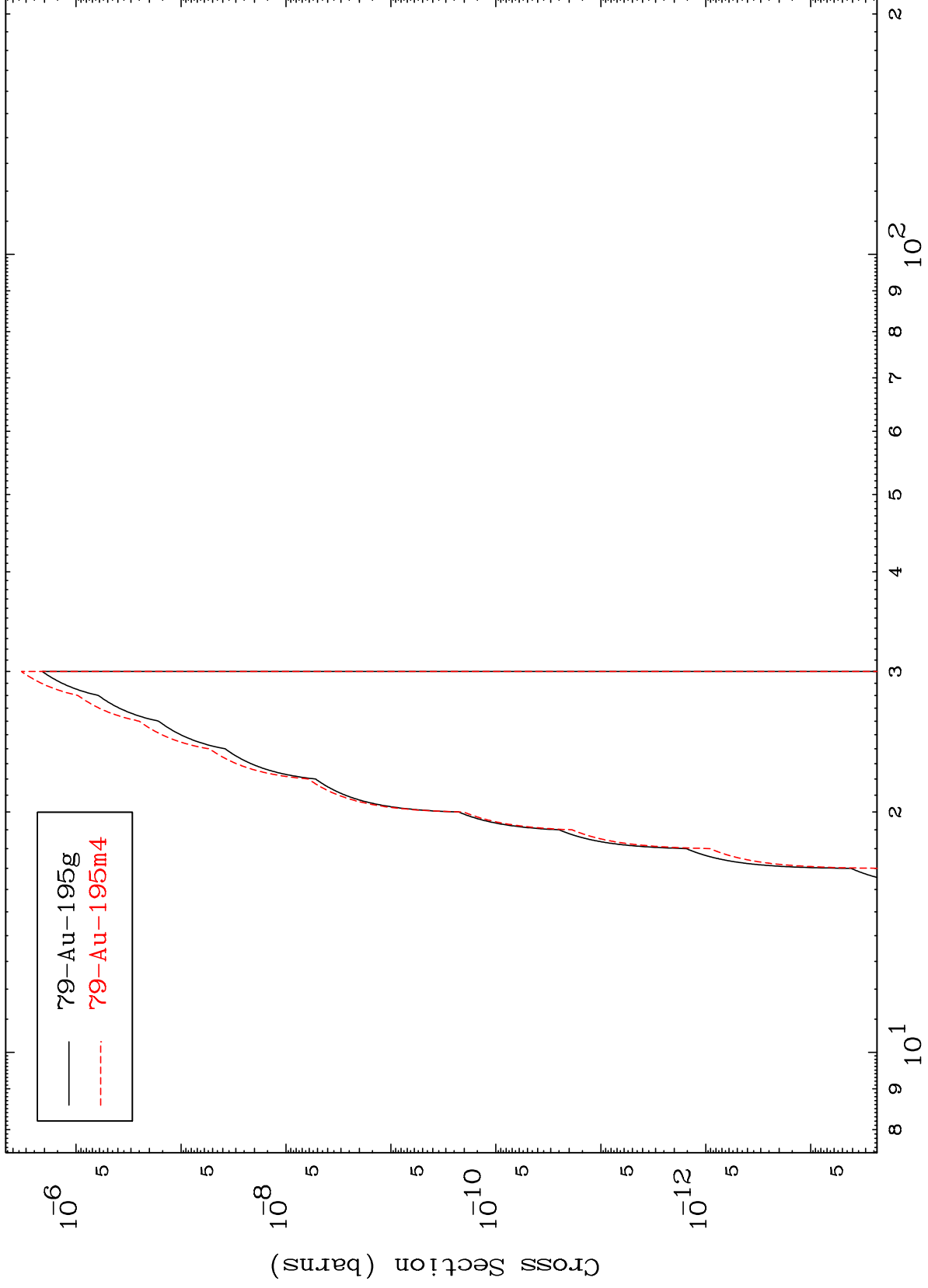
22

MAT 7919

(He-3,2n) p

79-Au-195

Radionuclide Production Cross Section



23

Incident Energy (MeV)

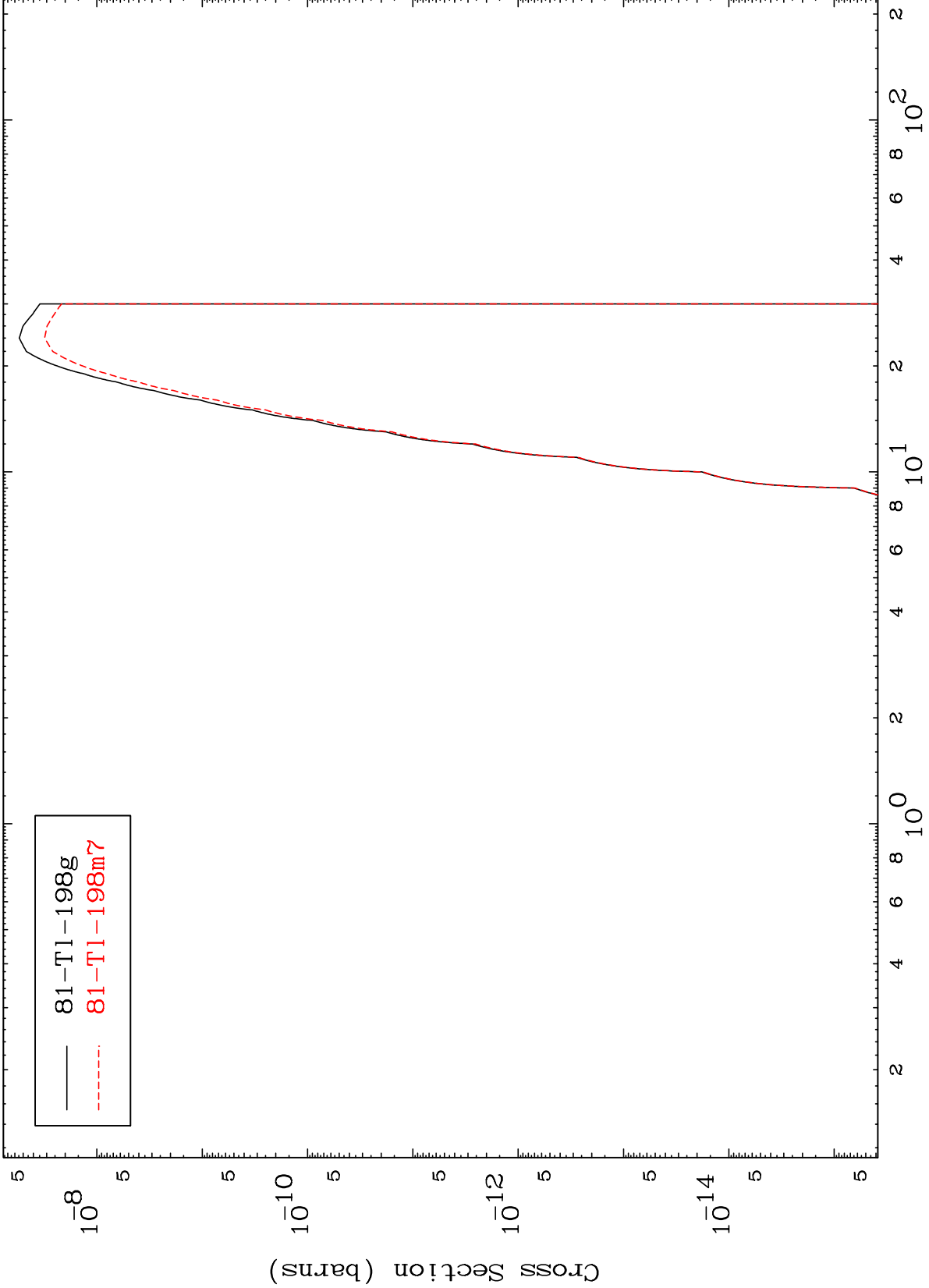
79-Au-195

MAT 7919

(He-3, γ)

79-Au-195

Radionuclide Production Cross Section

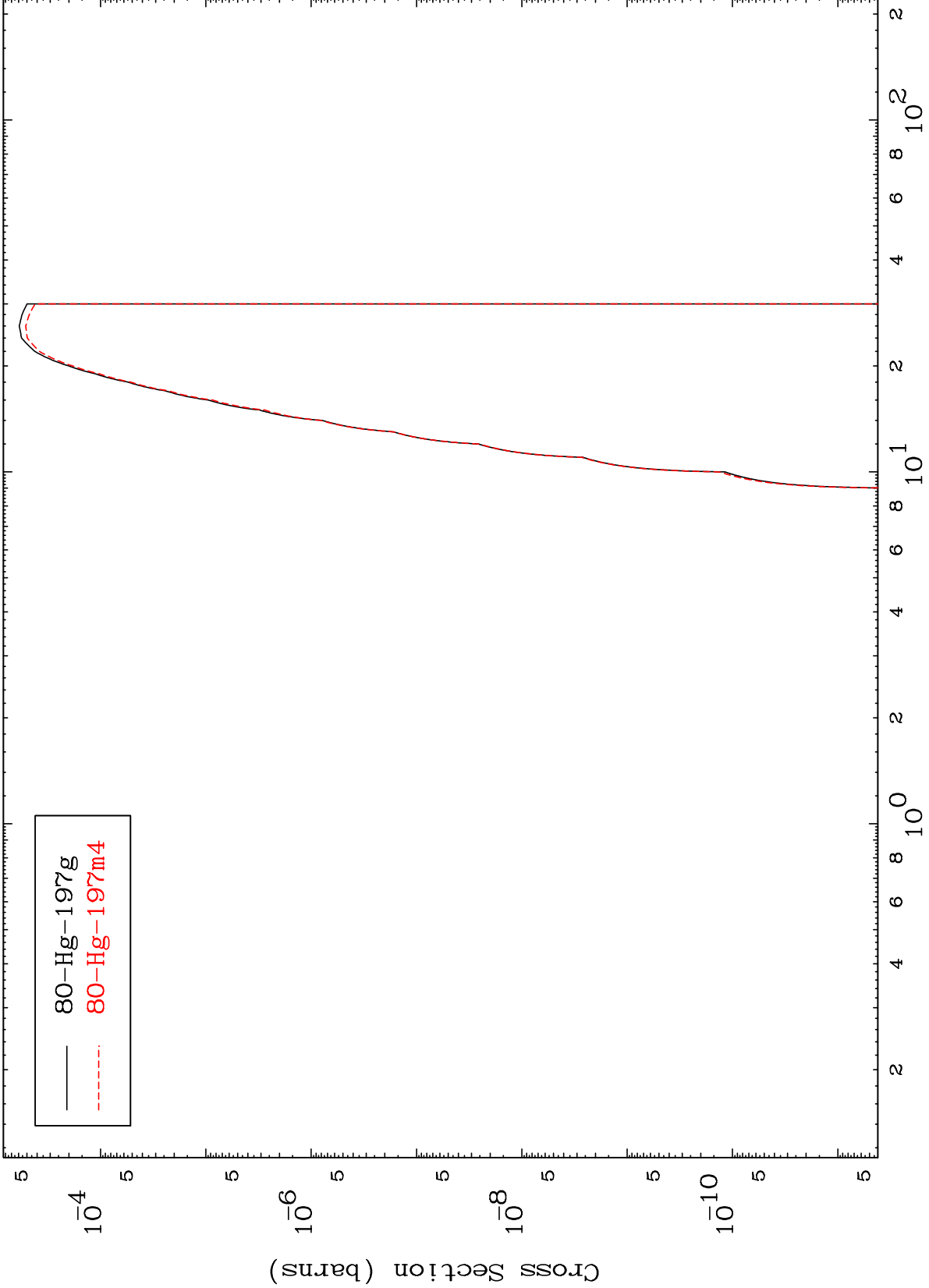


MAT 7919

(He-3,p)

79-Au-195

Radionuclide Production Cross Section



25

Incident Energy (MeV)

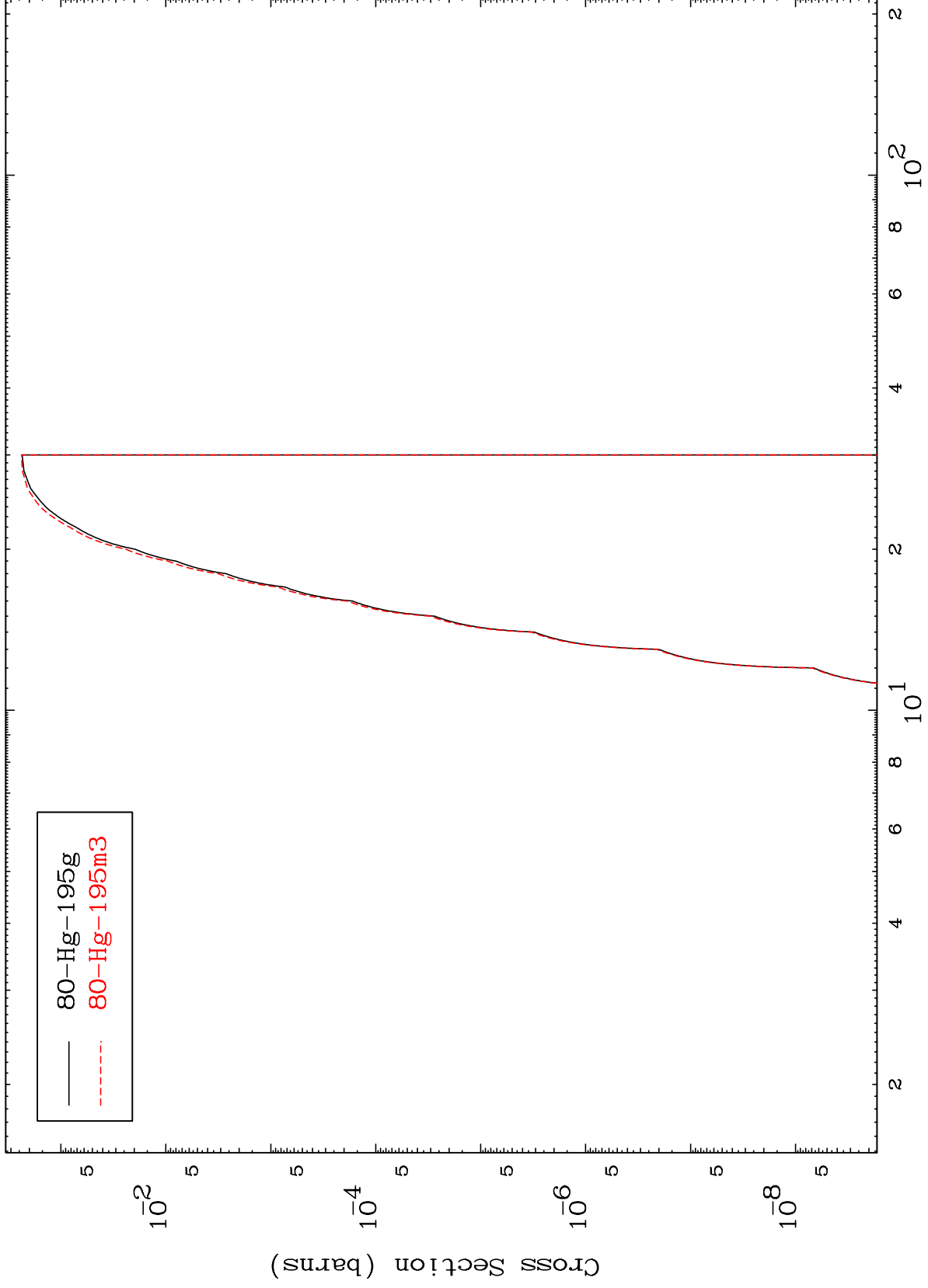
79-Au-195

MAT 7919

(He-3, t)

79-Au-195

Radionuclide Production Cross Section



26

Incident Energy (MeV)

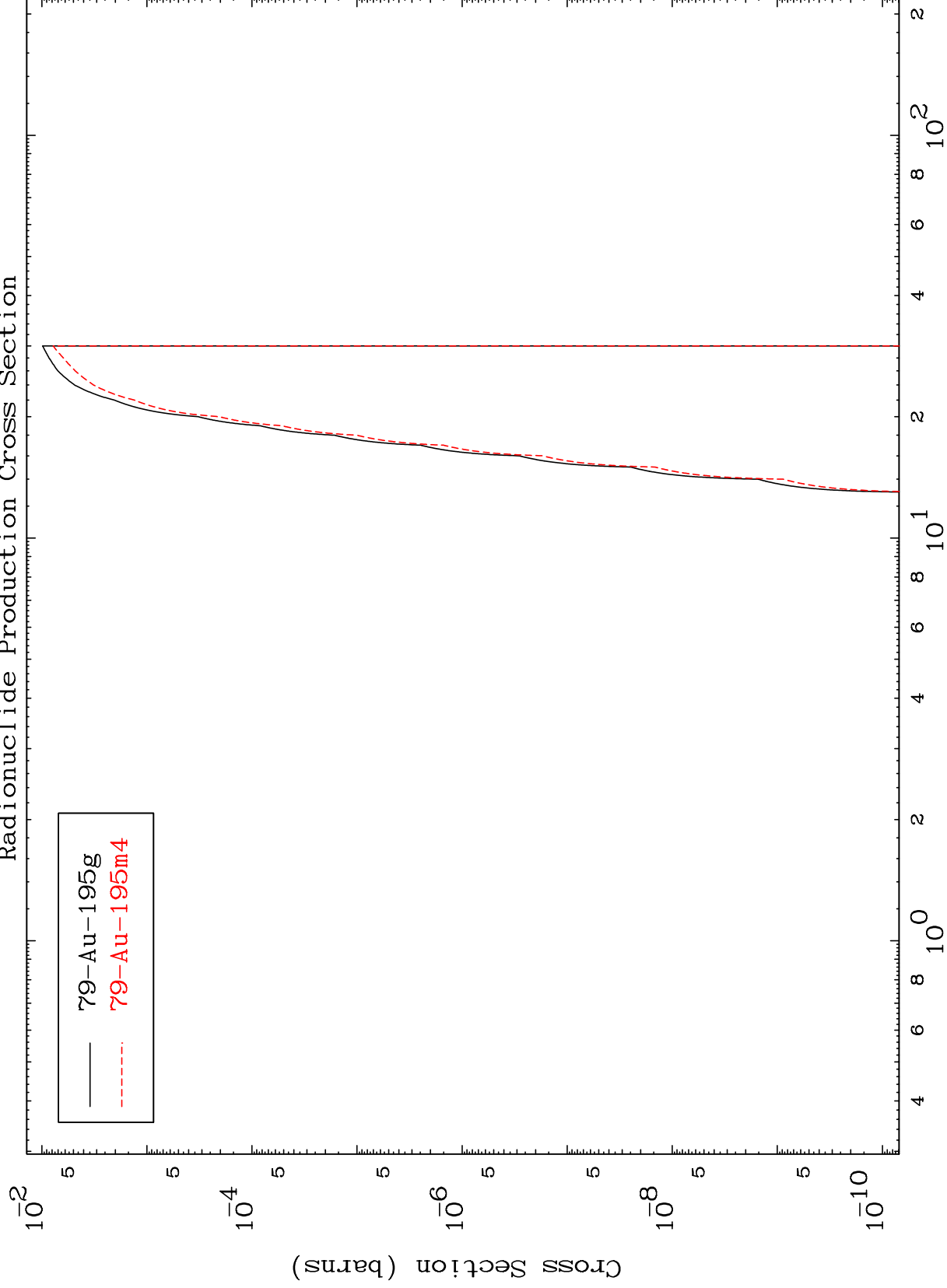
79-Au-195

MAT 7919

(He-3, He-3)

79-Au-195

Radionuclide Production Cross Section



27

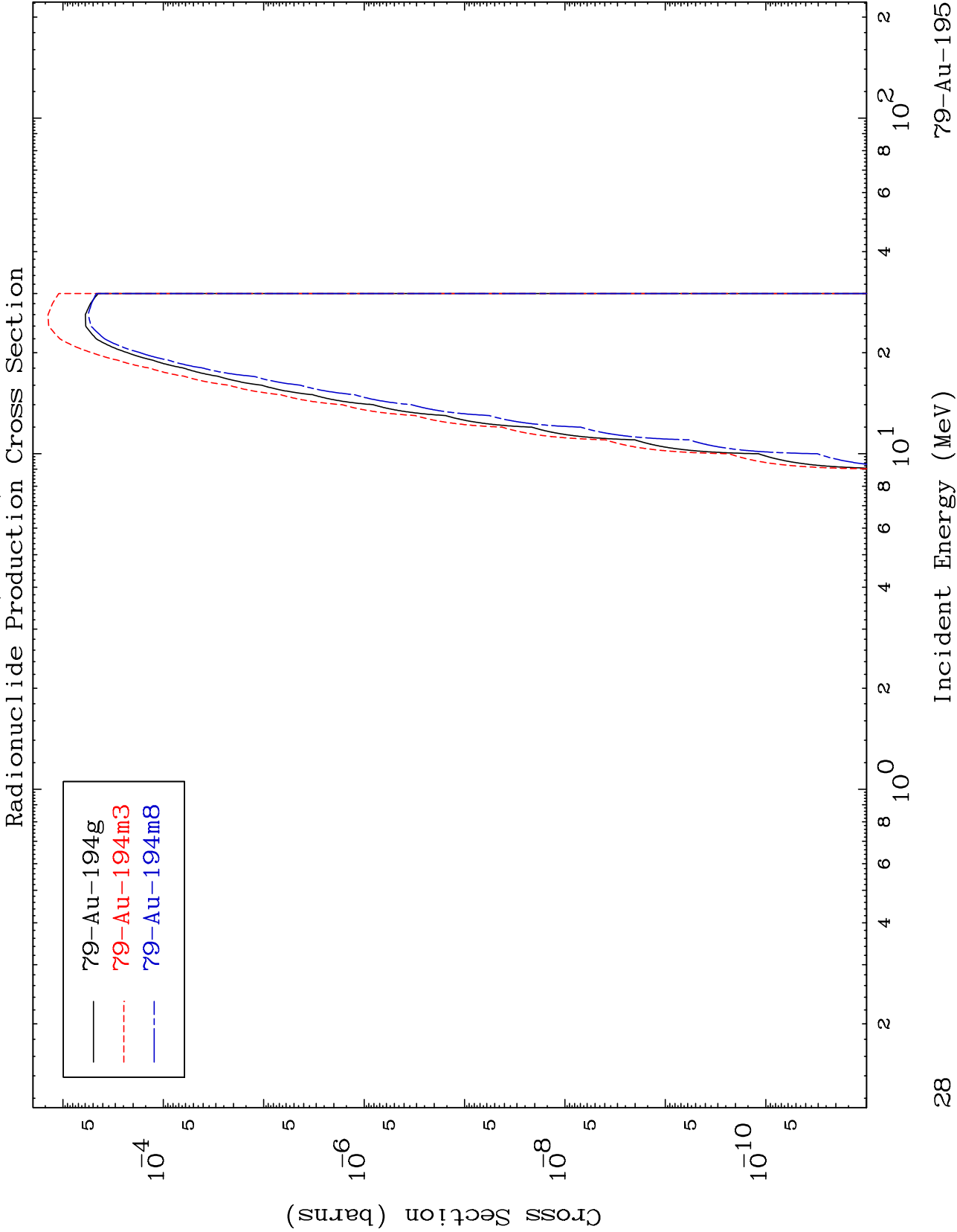
Incident Energy (MeV)

79-Au-195

MAT 7919

(He-3, α)

79-Au-195

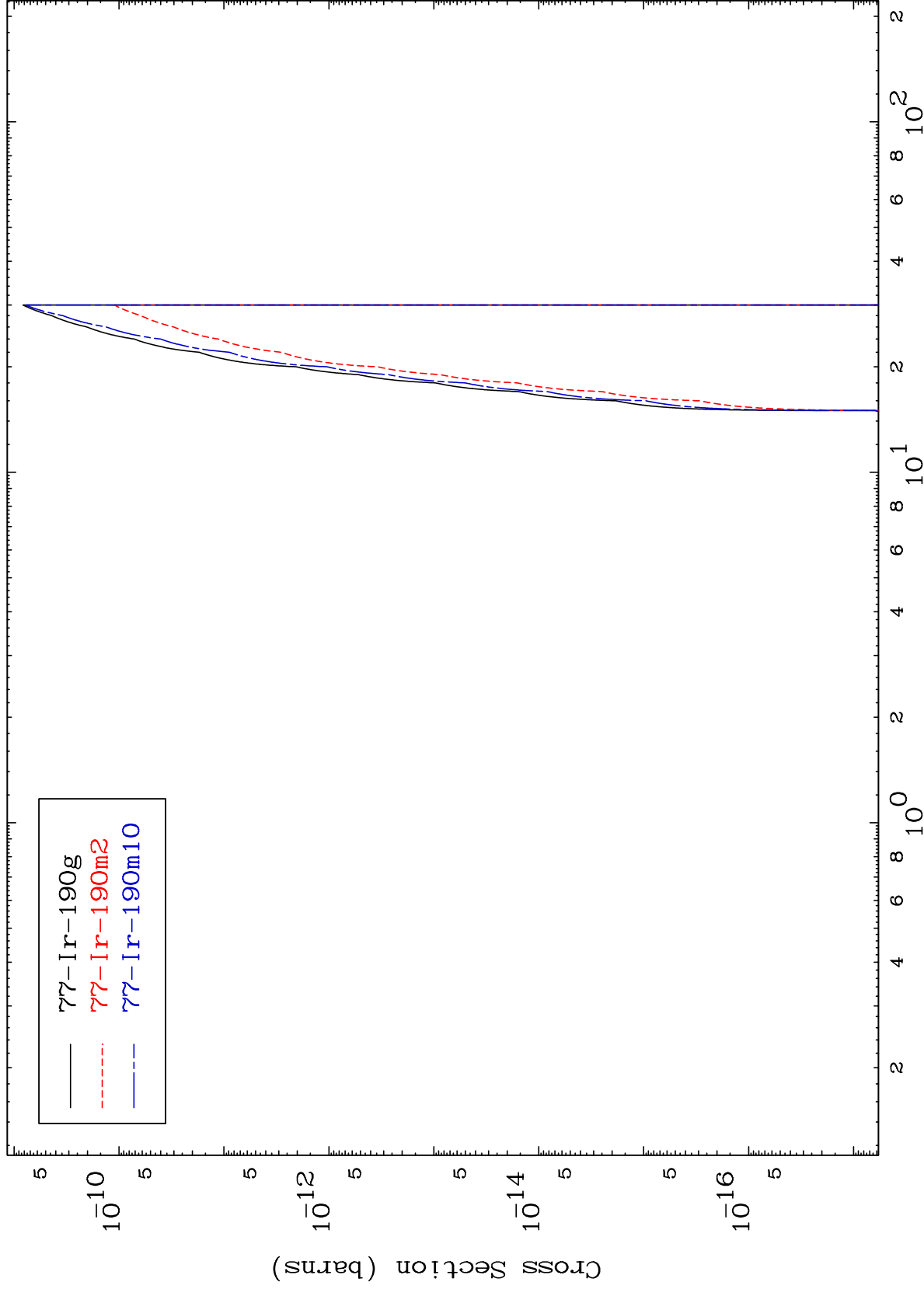


MAT 7919

(He-3,2α)

79-Au-195

Radionuclide Production Cross Section

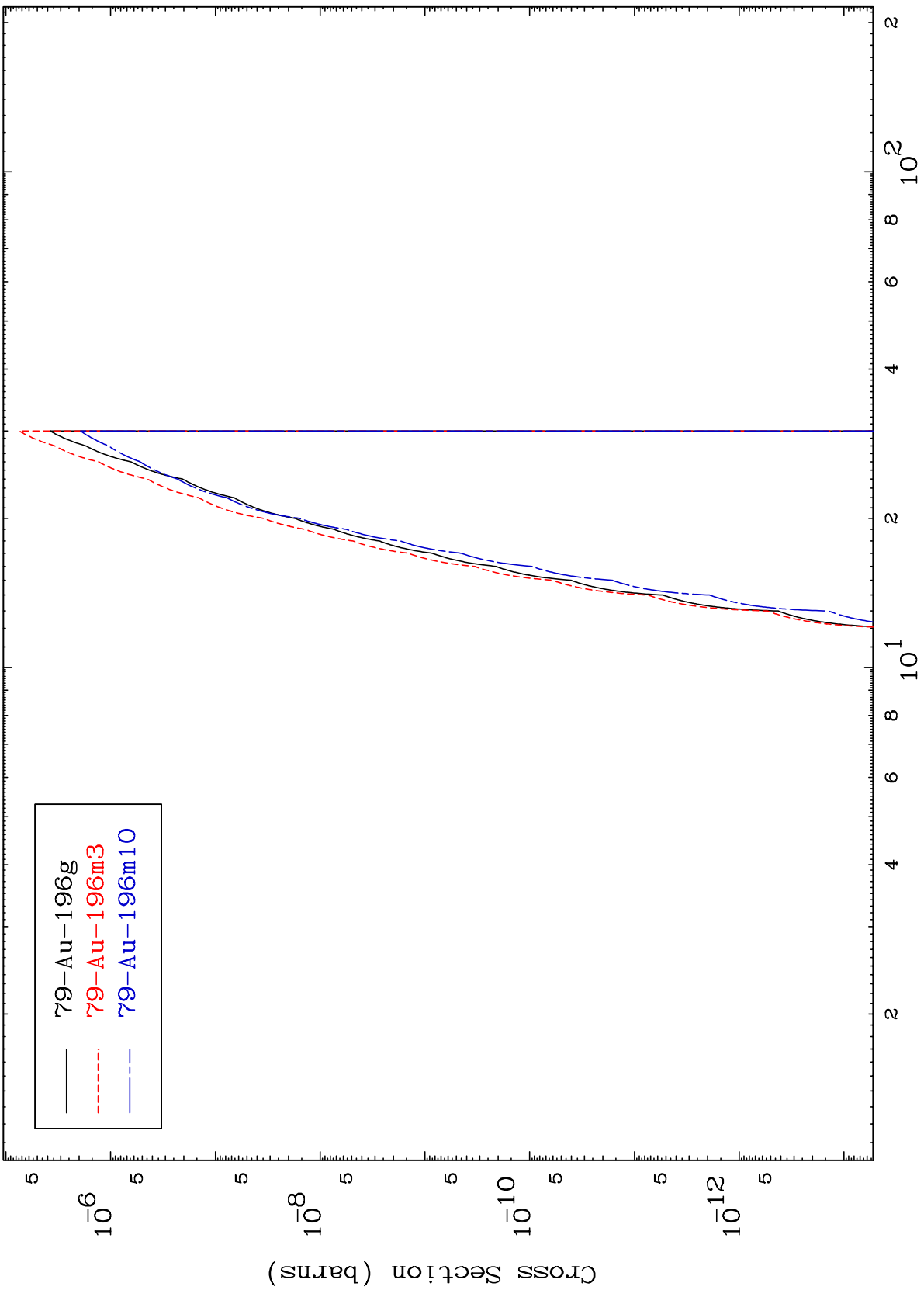


29

Incident Energy (MeV)

79-Au-195

Radionuclide Production Cross Section



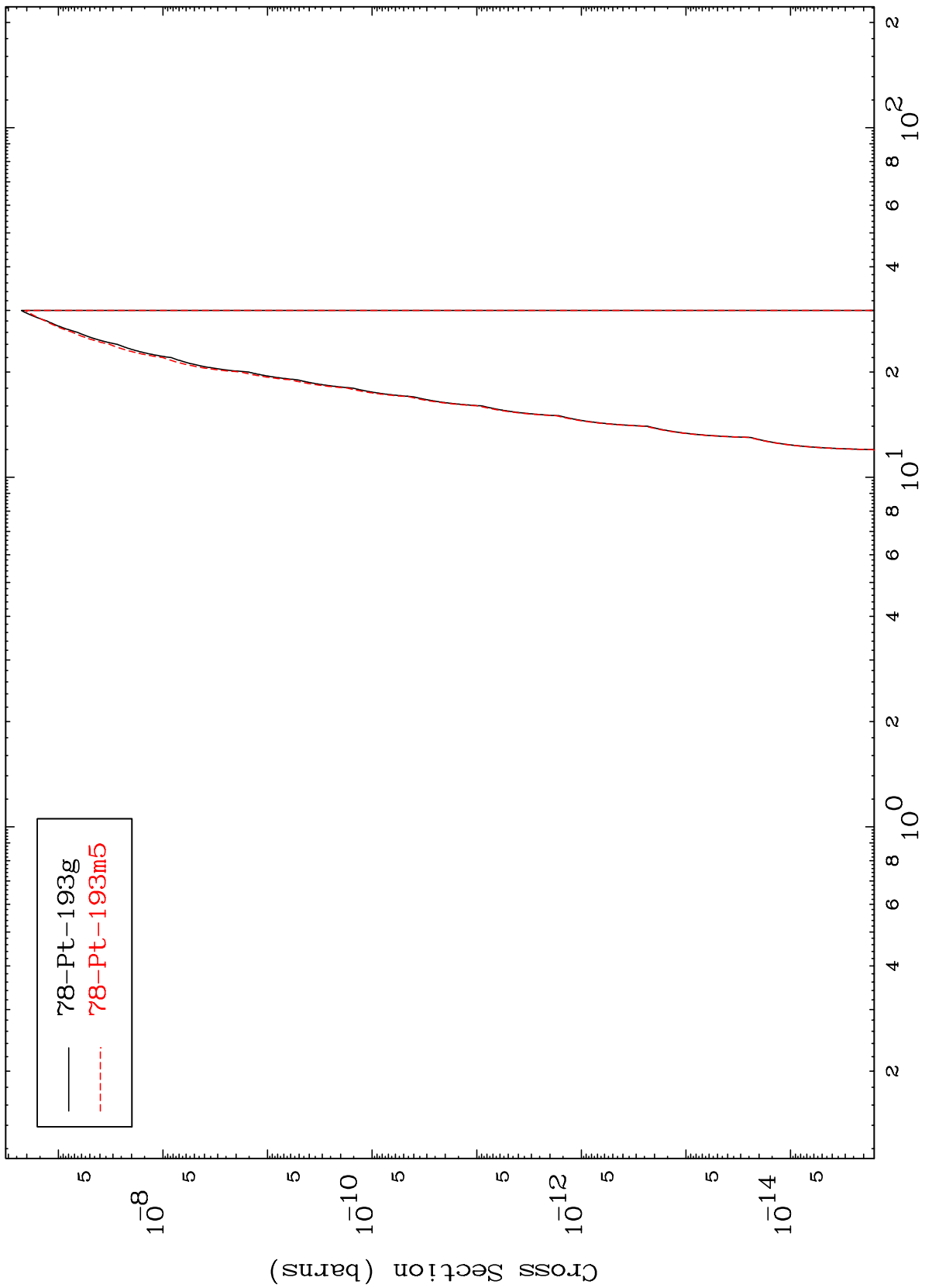
79-Au-196g
79-Au-196m3
79-Au-196m10

MAT 7919

(He-3, p) α

79-Au-195

Radionuclide Production Cross Section

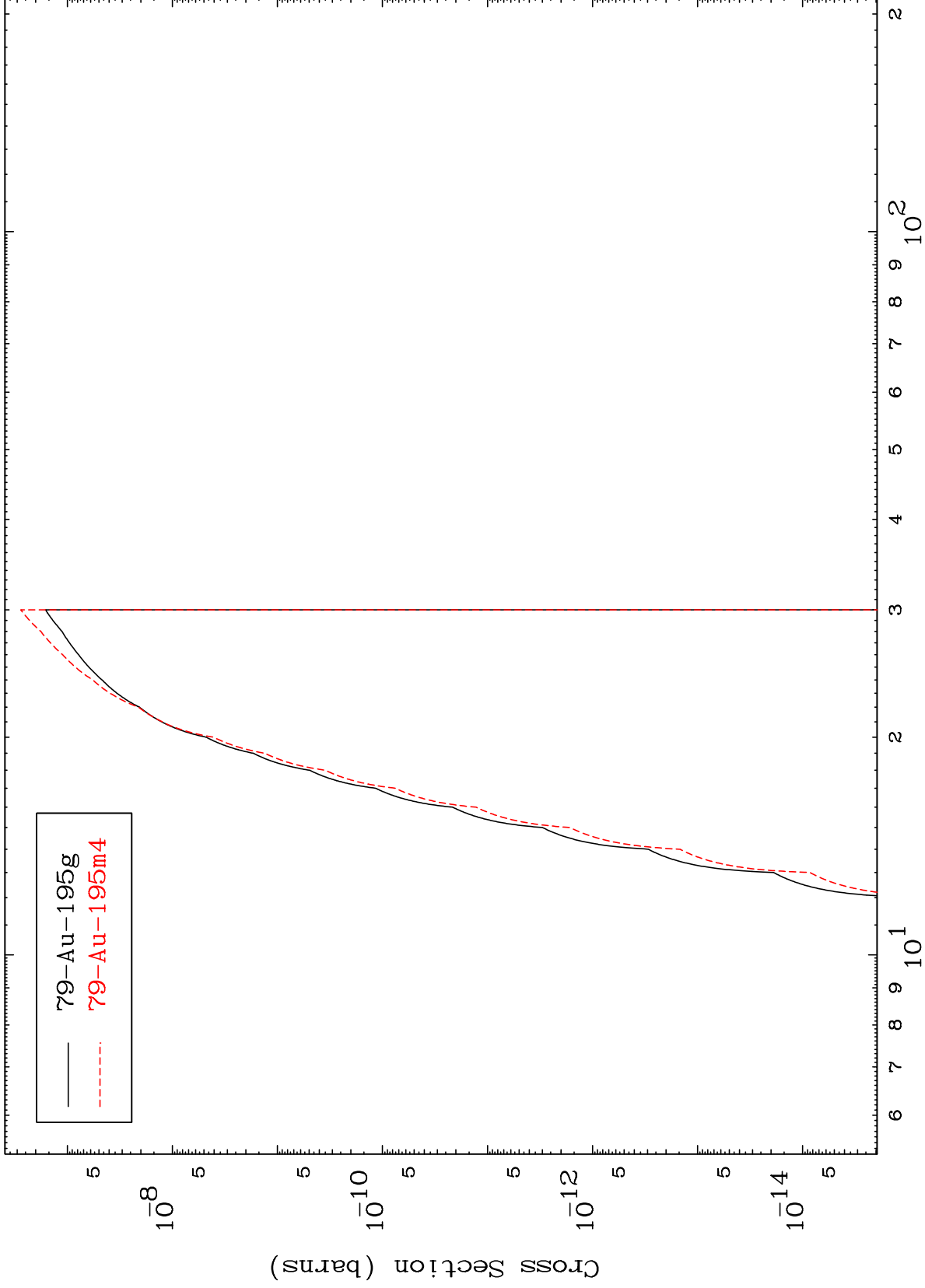


MAT 7919

(He-3, p) d

79-Au-195

Radionuclide Production Cross Section



32

Incident Energy (MeV)

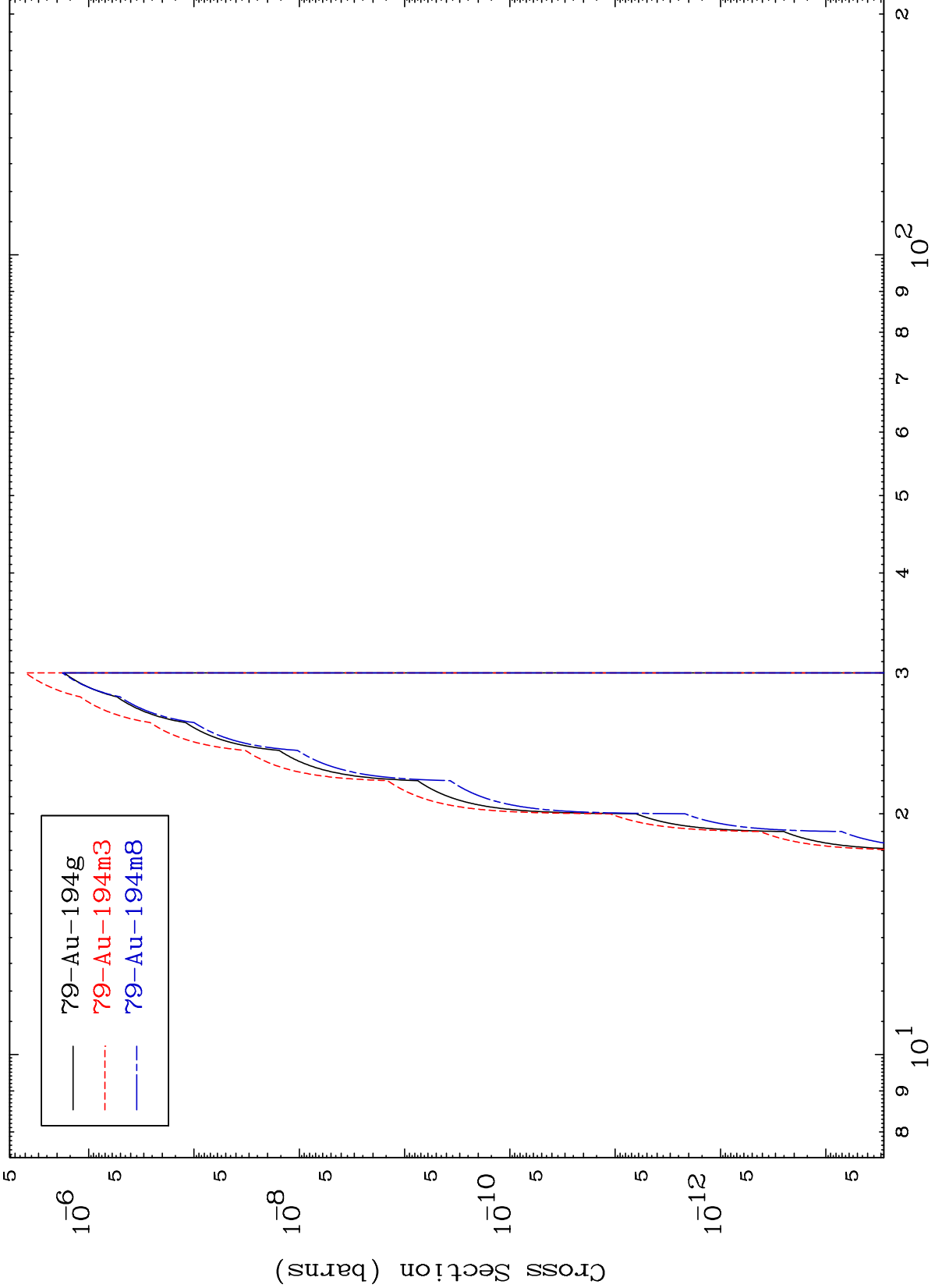
79-Au-195

MAT 7919

(He-3,p) t

79-Au-195

Radionuclide Production Cross Section



33

Incident Energy (MeV)

79-Au-195